

## SEMINARIS DE RECERCA:

Cultivos celulares de *Taxus spp.*, una eficaz herramienta biotecnológica para la producción de taxanos y para el desarrollo de estudios básicos sobre su biosíntesis.

Javier Palazón

Rosa M. Cusido

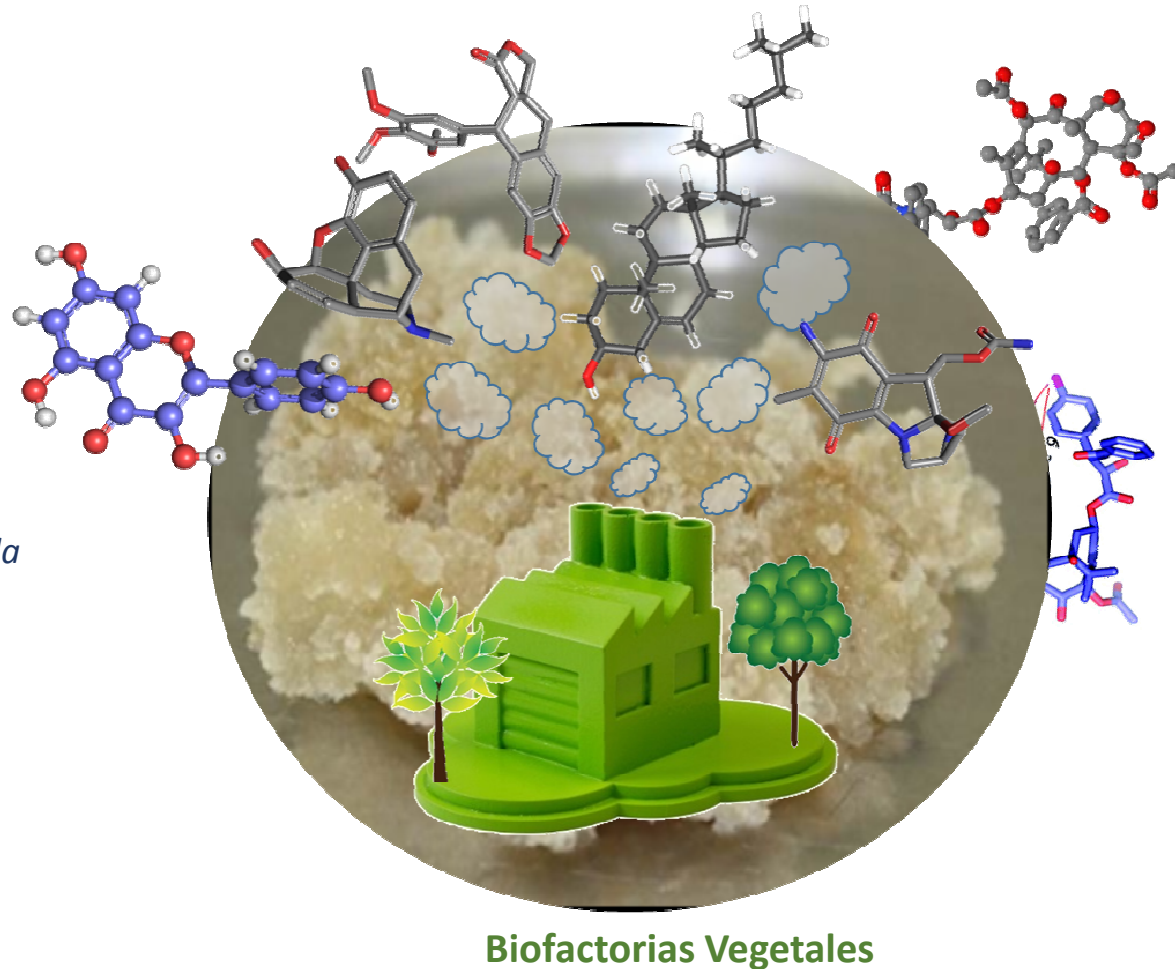
Elisabeth Moyano

Mercedes Bonfill.

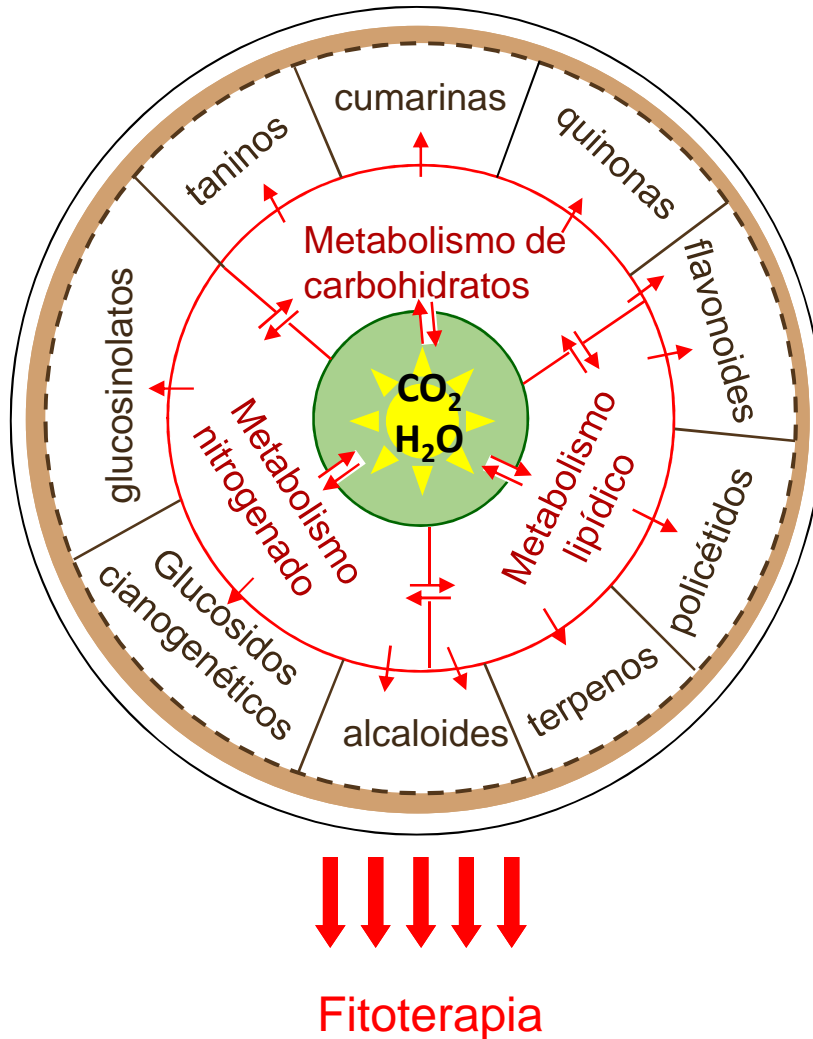
*Laboratorio de Fisiología Vegetal.  
Facultad de Farmacia y Ciencias de la  
Alimentación*



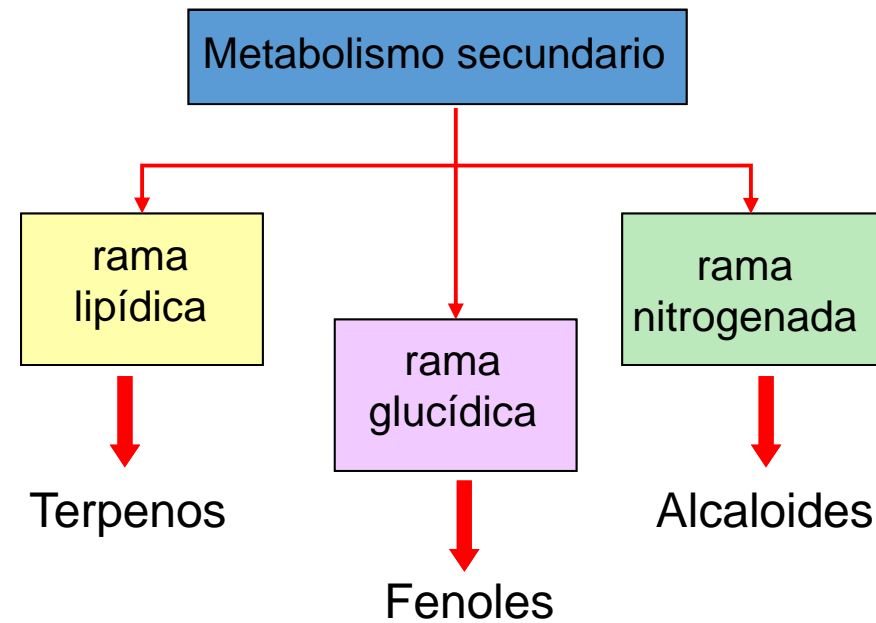
*Departamento de Ciencias  
Experimentales y de la Vida*



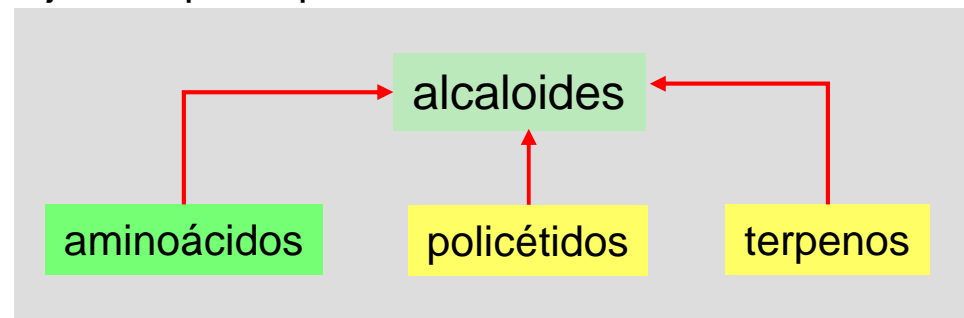
## Metabolismo secundario vegetal:



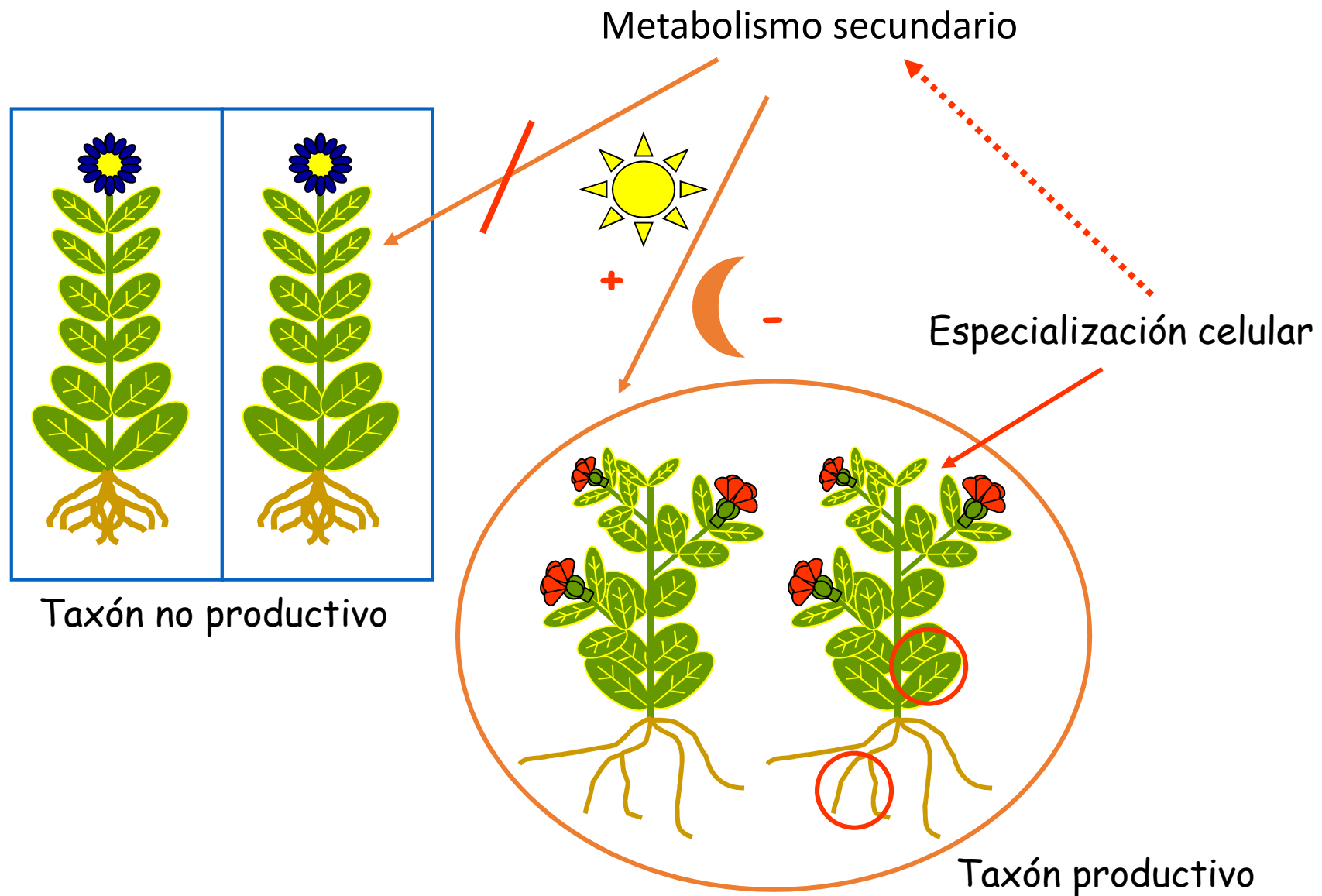
## Clasificación biogenética:



## Ej. de coparticipación:



## Metabolismo secundario vegetal:



## Funciones de los metabolitos secundarios:



## Usos de los productos naturales:



Desertización



Cultivos para biodiesel



¿Plantas medicinales y aromáticas?

## Problemas de las plantas medicinales:



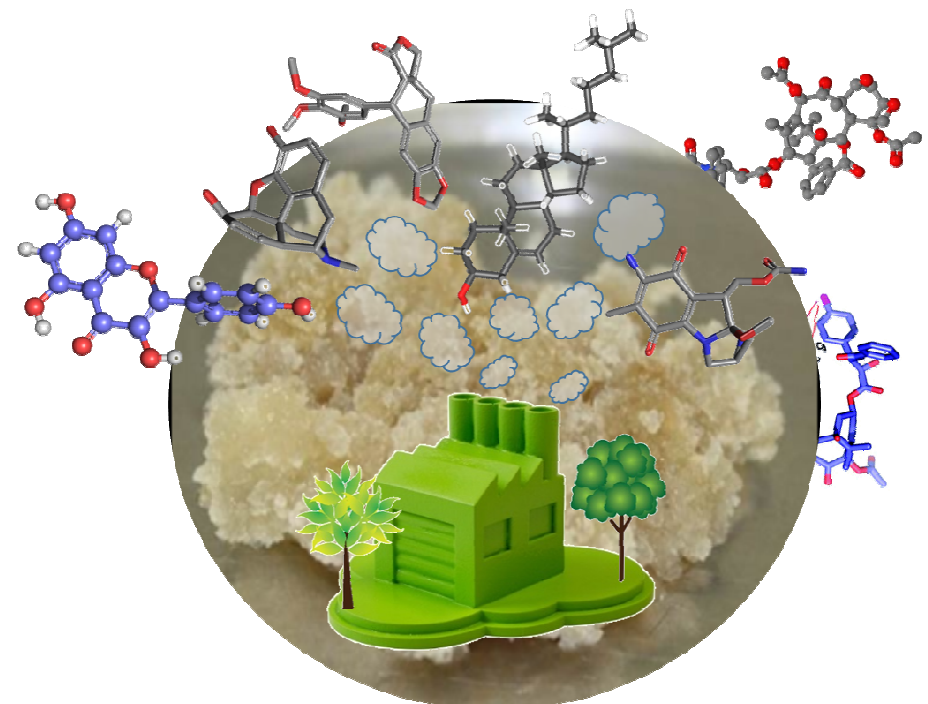
Sobreexplotación



Desertización



Cultivo agronómico



# Concepto de biofactorias vegetales:

Cultivos  
indiferenciados:



Suspensiones  
celulares

Células  
inmovilizadas

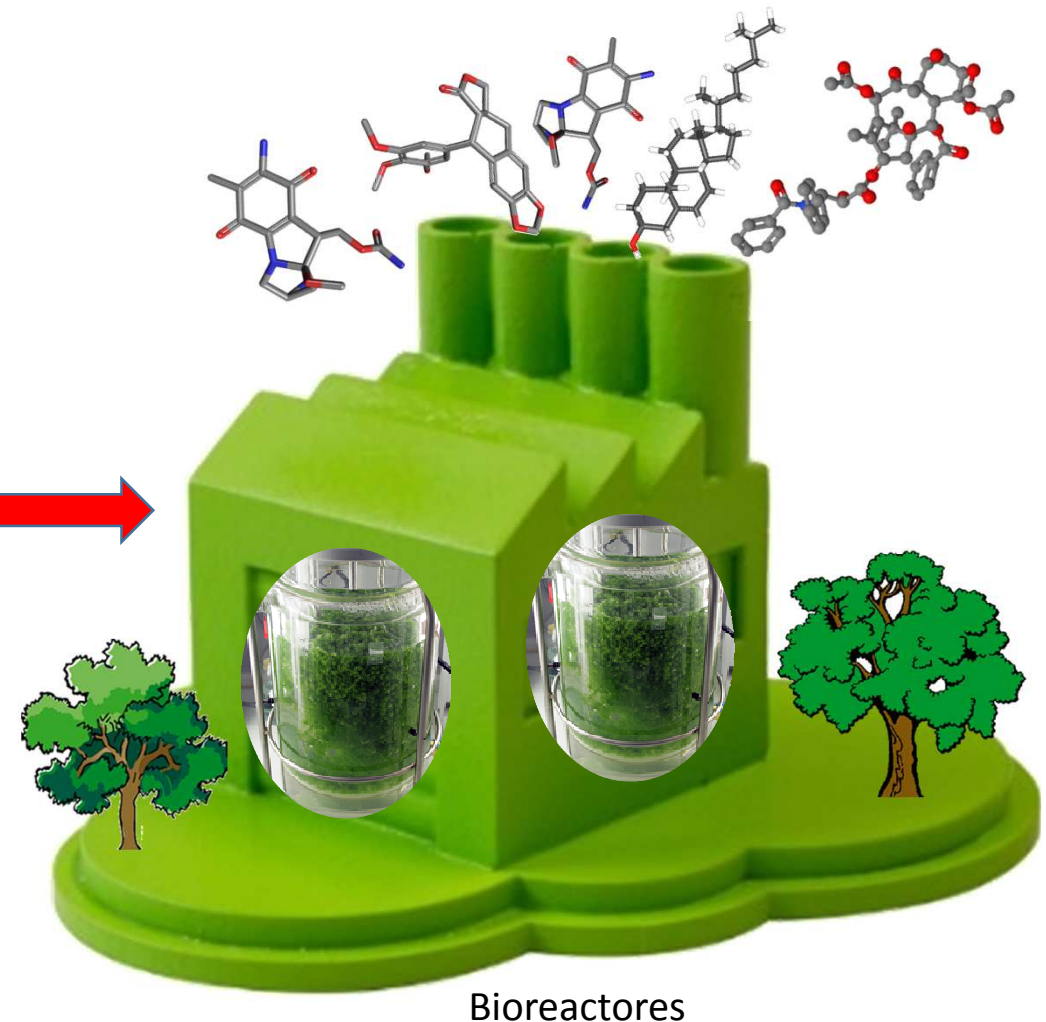
Cultivos  
Diferenciados:



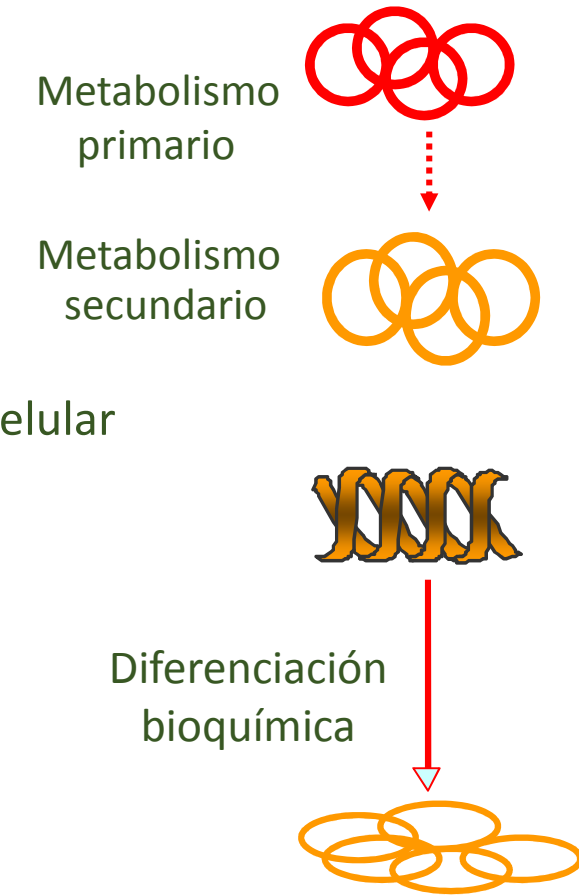
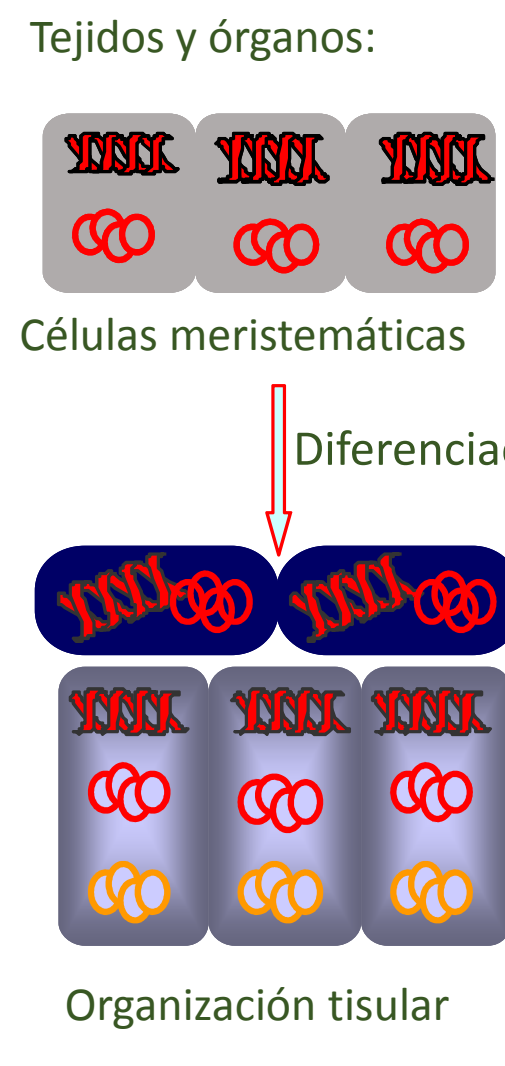
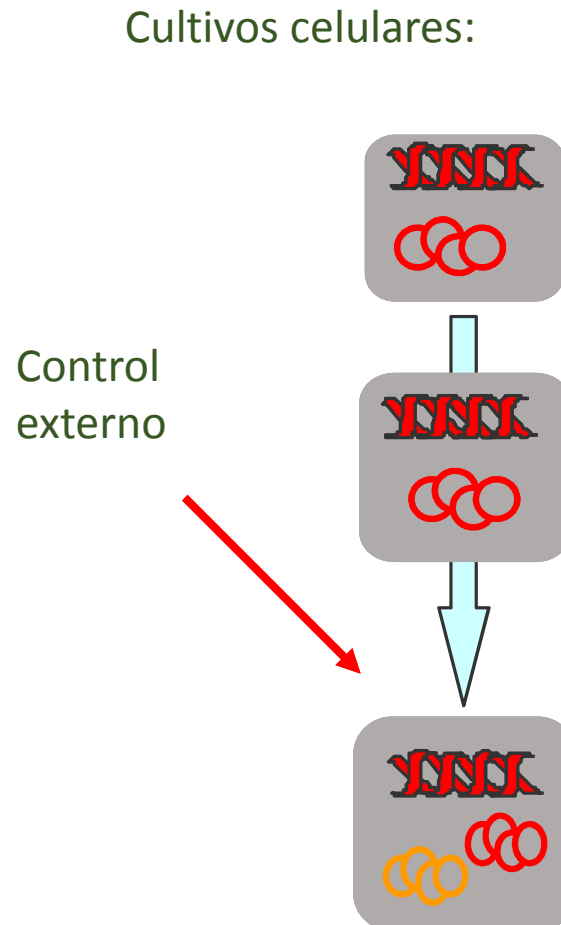
Raíces

Brotes

Frascos agitados



# Expresión del metabolismo secundario:



## Concepto de biofactorias vegetales:

Cultivos  
indiferenciados:



Suspensiones  
celulares

Células  
inmovilizadas

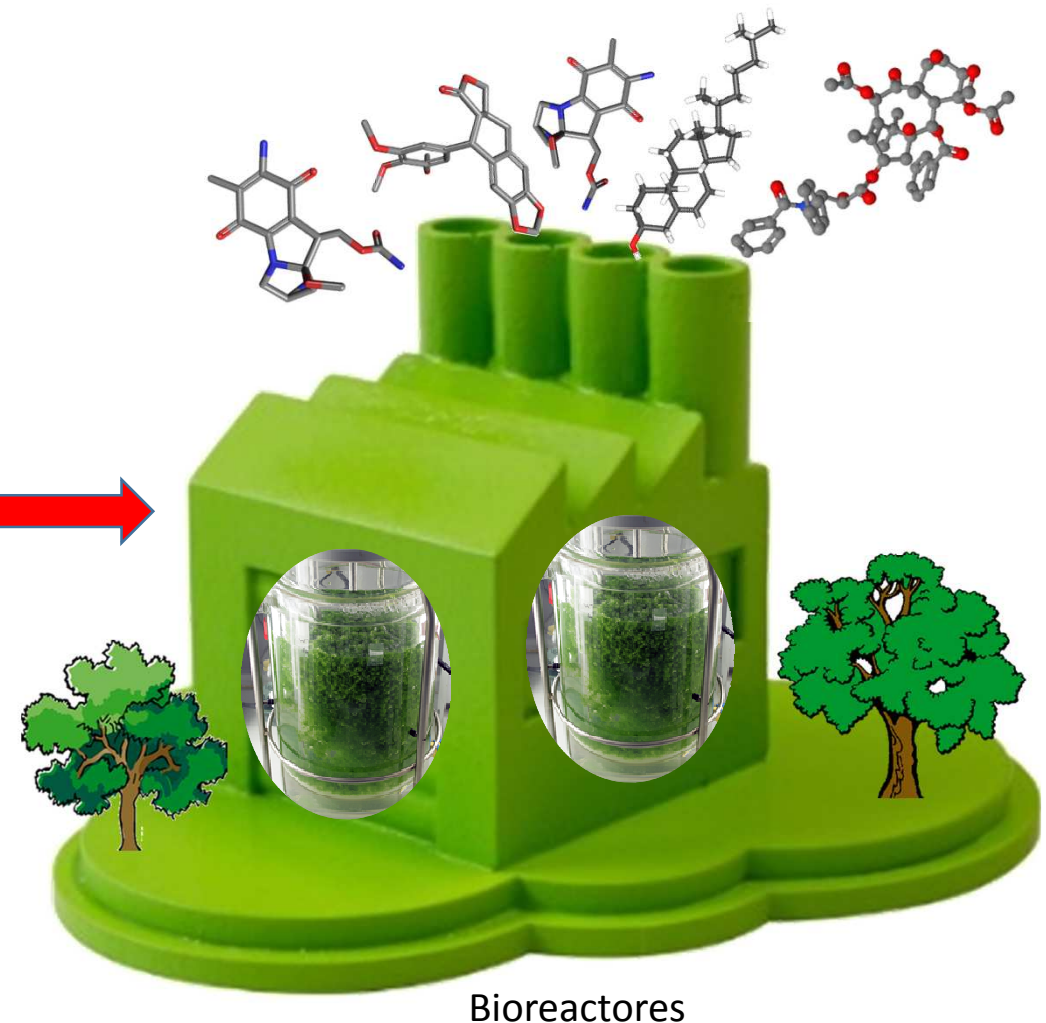
Cultivos  
Diferenciados:



Raíces

Brotes

Frascos agitados





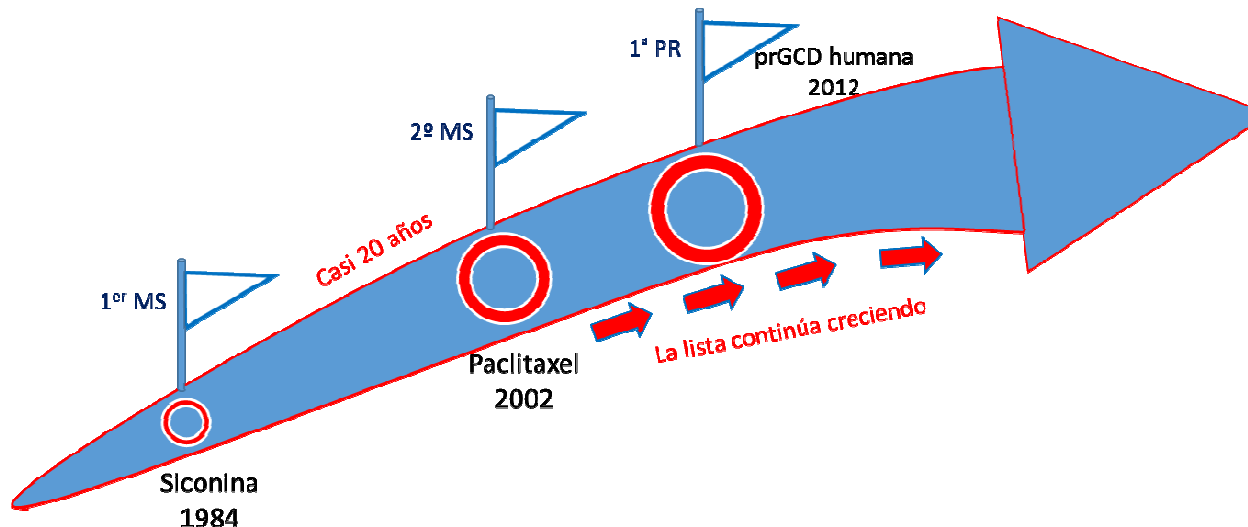
## Ventajas biofactorias vegetales:

- Permiten la producción de compuestos bioactivos utilizando un menor número de plantas.
- Se evitan los problemas relacionados con el clima y geopolíticos.
- Potencian la conservación y disponibilidad de especies vegetales en riesgo de extinción para las generaciones venideras.
- Aseguran la no contaminación del material vegetal, ya los cultivos *in vitro* están libres de microorganismos, herbicidas, plaguicidas y fungicidas.
- Los sistemas agrícolas no son necesarios y el suelo se puede utilizar para la producción de alimentos.
- Conducen a una drástica reducción en el agua y del uso disolventes orgánicos pues se simplifican los procesos de extracción.
- Si se utilizan OGM no hay riesgo de dispersión de transgenes.



Procesos biosostenibles y ecológicos

# Progresión de la producción de compuestos bioactivos en biofactorías vegetales



Sistema vegetal	Bioactivo	Productor
Proteínas recombinantes:		
<i>Daucus carota</i>	Elelyso™ (glucocerebrosidasa)	Protalix (Israel)
<i>Oryza sativa</i>	Rh-lactoferrina Rh-albumina Rh-lisozima Rh-transferrina	Invitria (USA)
Metabolitos secundarios:		
<i>Catharanthus roseus</i>	Arbutina	Mitsui Chemicals, Inc. (Japón)
<i>Coptis japonica</i>	Berberina	Mitsui Chemicals, Inc. (Japón)
<i>Echinacea spp.</i>	Polisacaridos de equinacea	Diversa (Alemania)
<i>Panax ginseng</i>	Ginsenósidos	Nitto Denko Corporation (Japón)
<i>Taxus spp.</i>	Paclitaxel	Phyton Biotech. Inc. (USA/Alemania); Genexol®-Samyang Genex (Korea)
<i>Podophyllum sp.</i>	Podofilotoxina	Nippon Oil (Japón)
<i>Coleus blumei</i>	Ácido rosmarínico	Natterman & Cie. GmbH (Alemania)
<i>Duboisia spp.</i>	Escopolamina	Sumitomo Chemical Co. Ltd. (Japón)
<i>Lithospermum erythrorhizon</i>	Siconina	Mitsui Chemicals, Inc. (Japón)



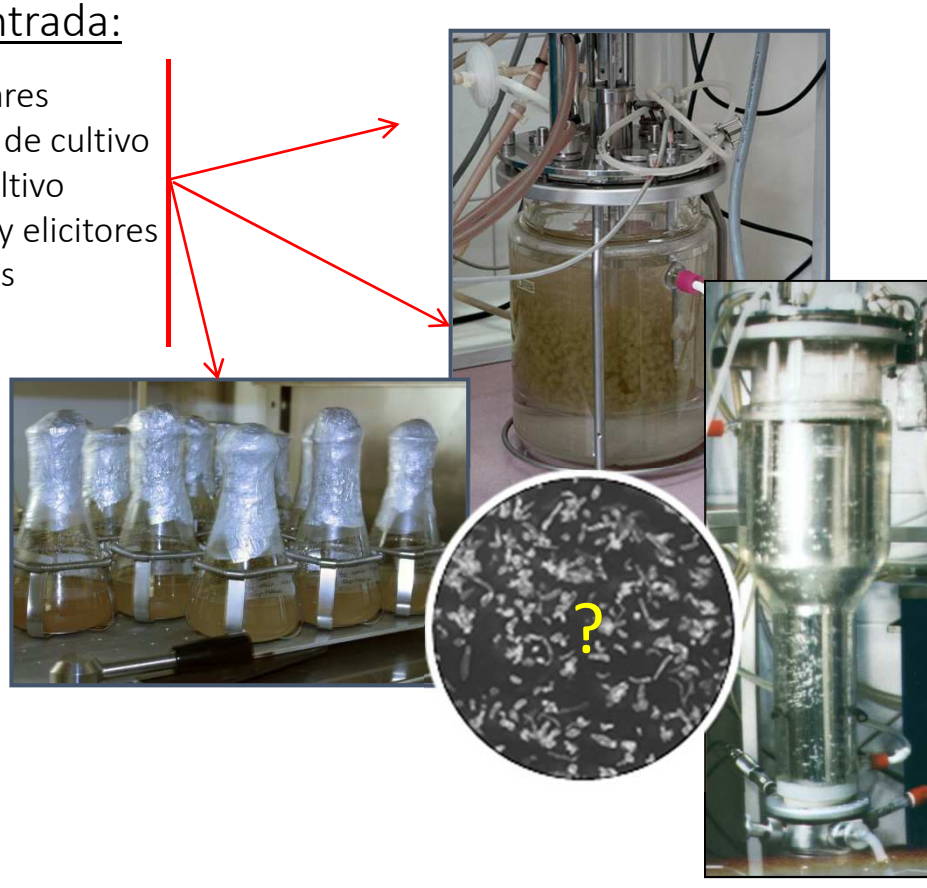
¿Por qué?



# Optimización de la producción:

## Factores de entrada:

- Líneas celulares
- Condiciones de cultivo
- Medio de cultivo
- Precursores y elicidores
- Biorreactores

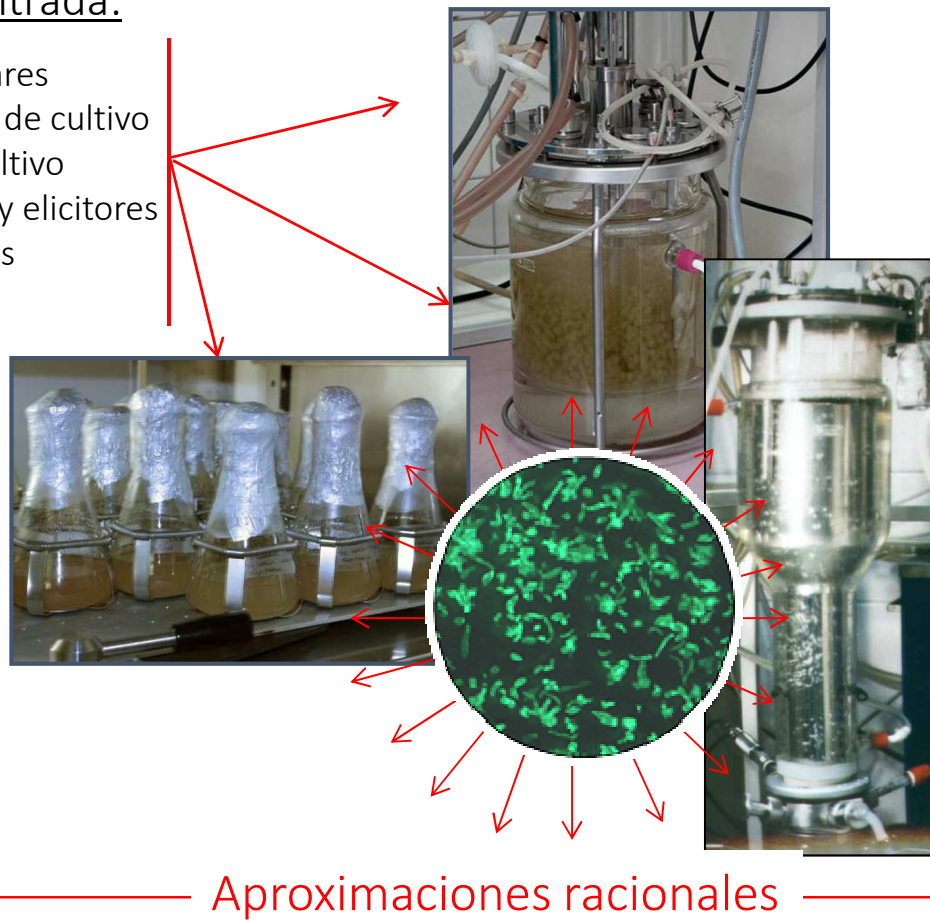
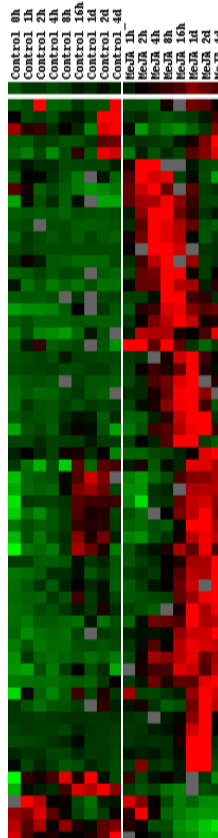


## Factores de salida:

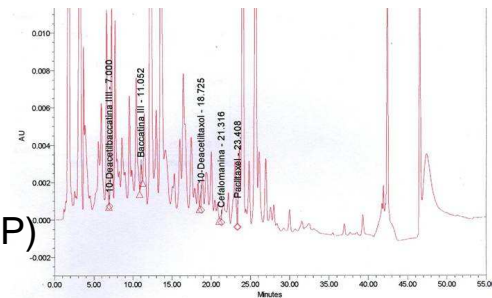
- Crecimiento
- Producción
- Rendimiento

## Factores de entrada:

- Líneas celulares
- Condiciones de cultivo
- Medio de cultivo
- Precursores y elicidores
- Biorreactores



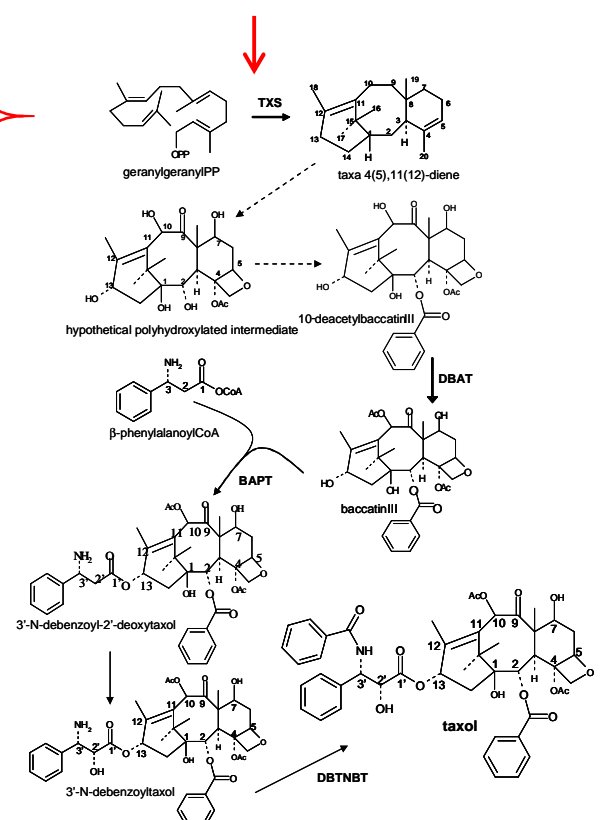
Perfiles transcriptómicos(cDNA-AFLP)  
(Expresión génica)



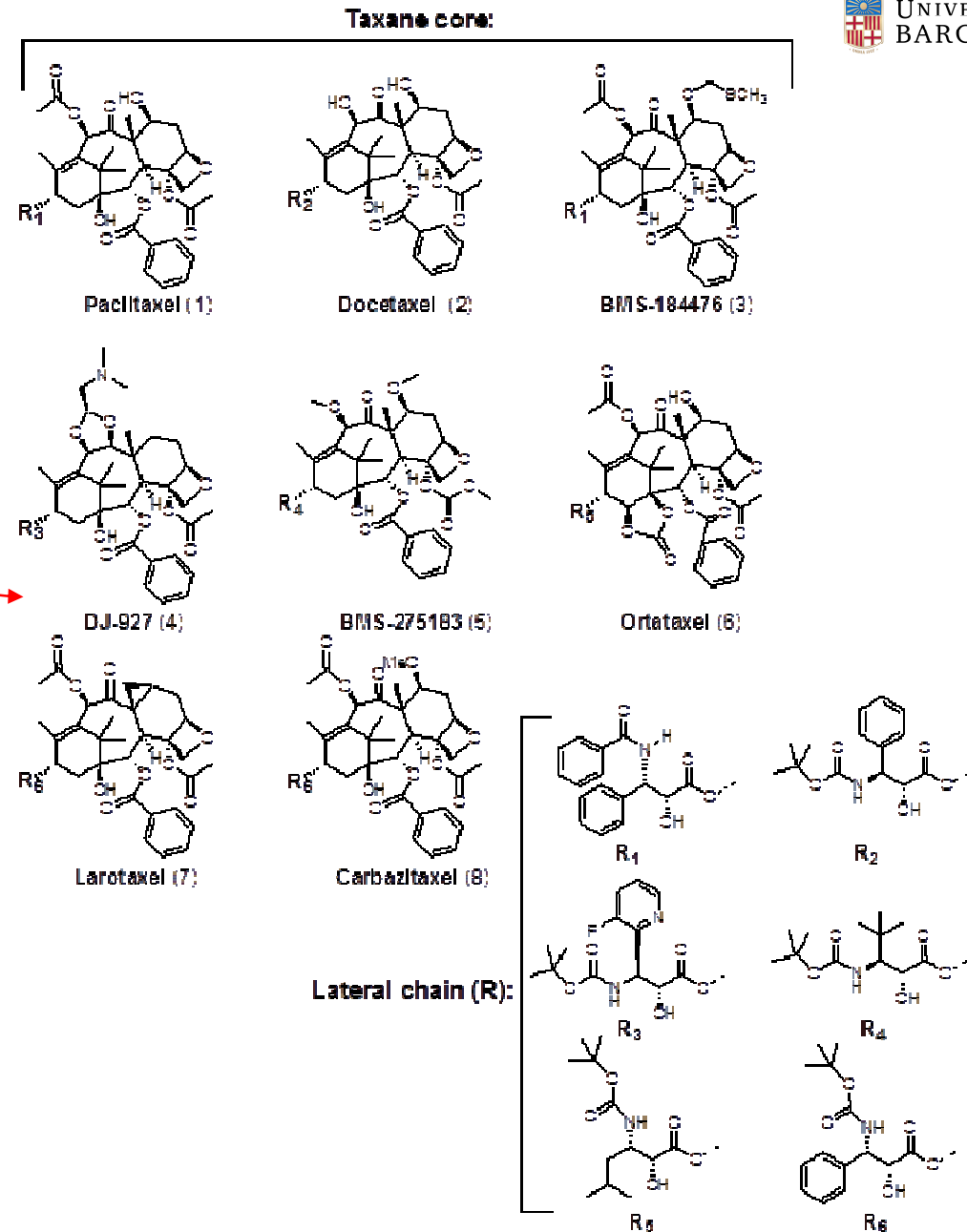
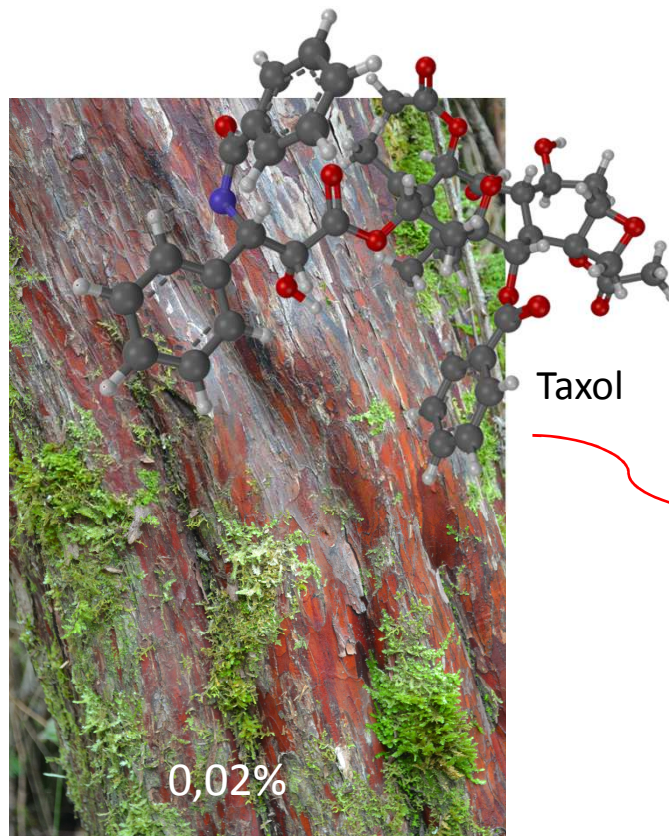
Perfiles metabólicos (HPLC-MS)

## Factores de salida:

- Crecimiento
- Producción
- Rendimiento
- Mayor conocimiento del metabolismo



## Taxol y otros taxanos:



1992 FDA → tratamiento del cáncer

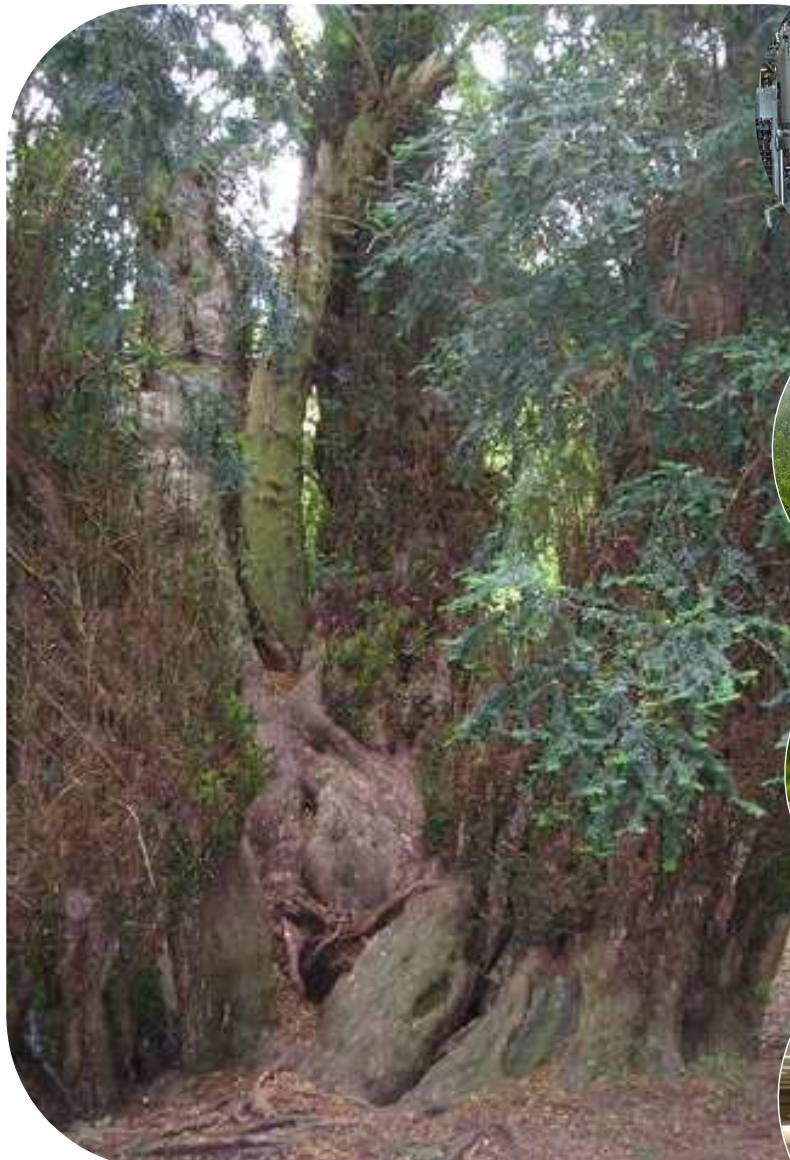
Clasificación ATC  
(Anatomical Therapeutic Chemical)

Taxol y análogos (L01CD)

Estructura química del taxol y sus derivados semisintéticos

Onrubia et al. *Current Medicinal Chemistry* (2013) 20, 880-891

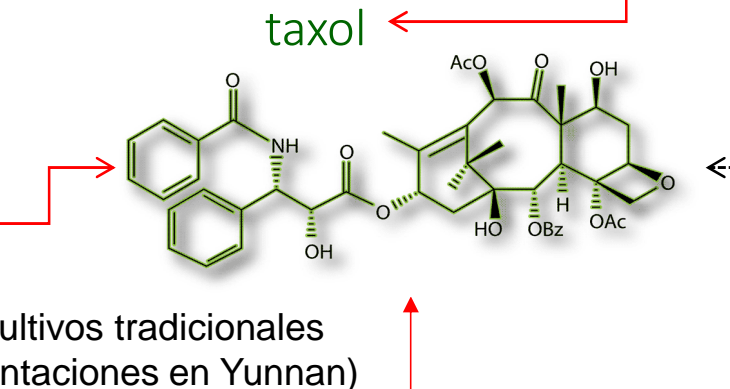
# Fuentes de taxanos



Árbol centenario de *Taxus baccata*

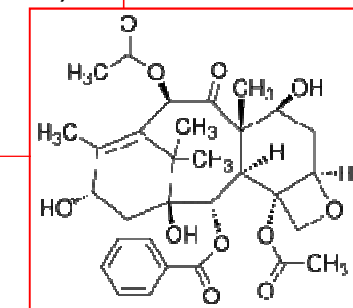


Producción biotecnológica:  
Phyton, Cell Therapeutics, Abraxis  
Corean Samyang Genex.....



Cultivos tradicionales  
(plantaciones en Yunnan)

Semisíntesis



baccatina III  
(precursor)

Síntesis química

X

## Coste ecológico del sistema:



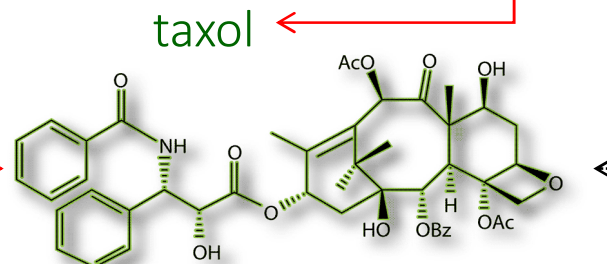
# Fuentes de taxanos



Árbol centenario de *Taxus baccata*

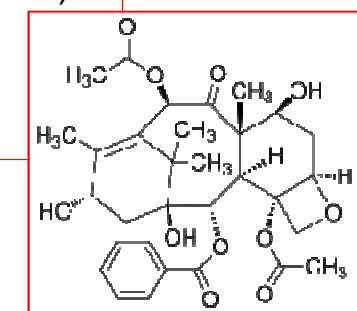


Producción biotecnológica:  
Phyton, Cell Therapeutics, Abraxis  
Corean Samyang Genex.....



Cultivos tradicionales  
(plantaciones en Yunnan)

Semisíntesis



baccatin III  
(precursor)

Síntesis química

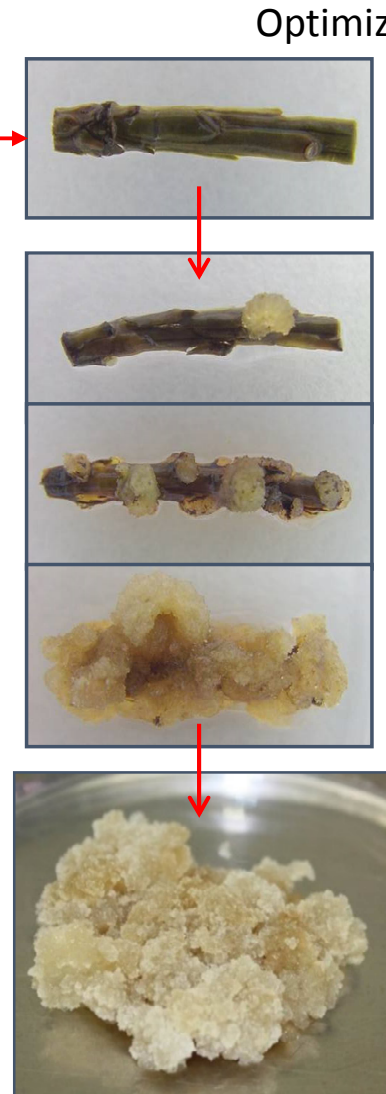


## Nuestros estudios empíricos:



*Taxus spp.*

Especies utilizadas:  
*T. baccata*  
*T. wallichiana*  
*T. media*  
*T. globosa*



Selección de líneas  
 Medios de cultivo basales  
 Reguladores del crecimiento  
 Precursores  
 Elicitores



Suspensiones celulares

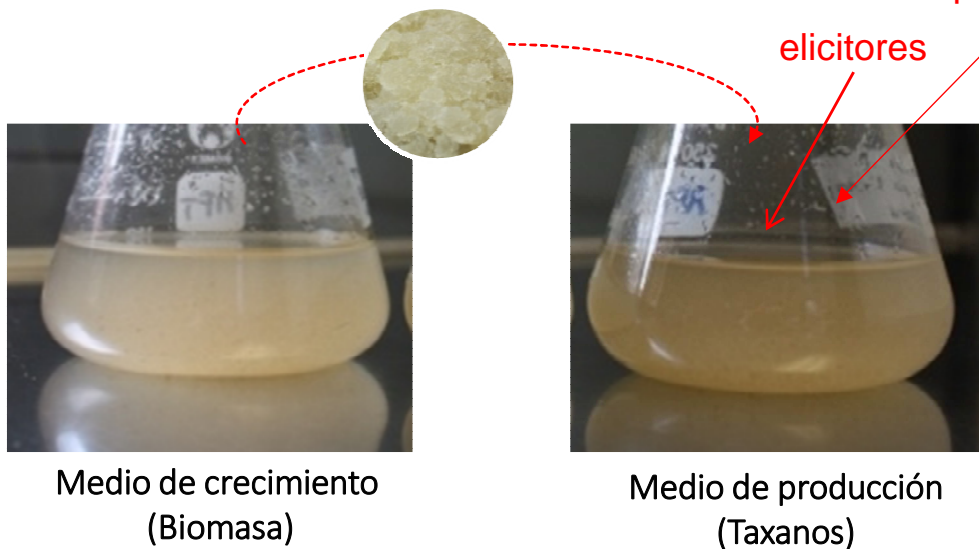


Cultivo en bioreactor

Tipos:  
 Columna de borboteo  
 Airlift  
 Agitación mecánica

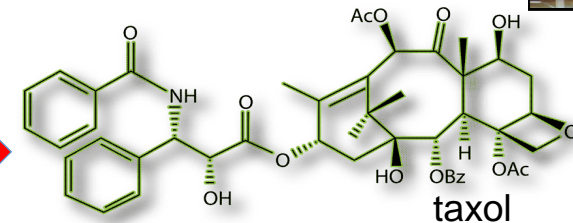
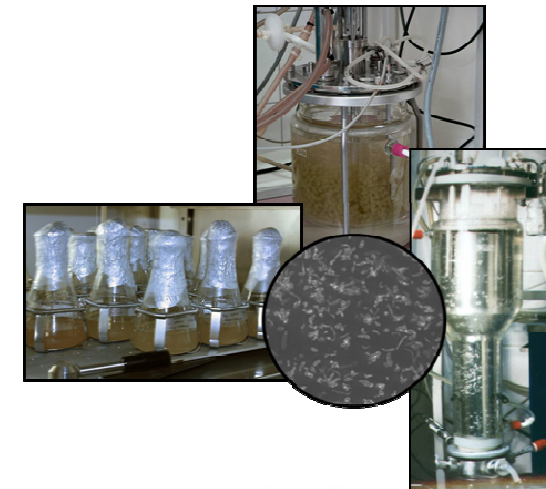
## Aproximaciones de tipo empírico:

- Condiciones de cultivo
- Adición de precursores
- Adición de elicidores
- Escalado en biorreactores



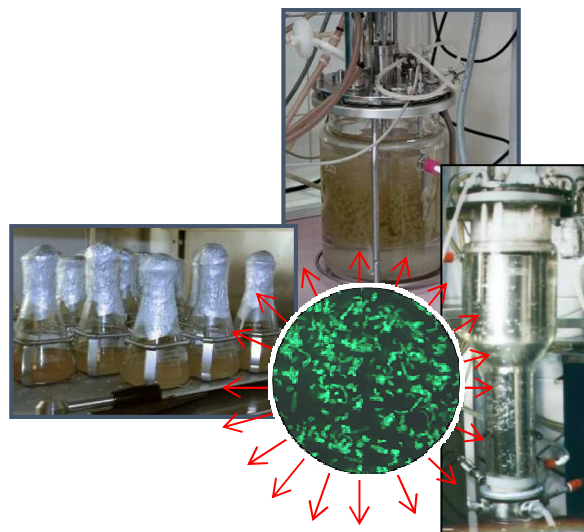
precursores

elicitores



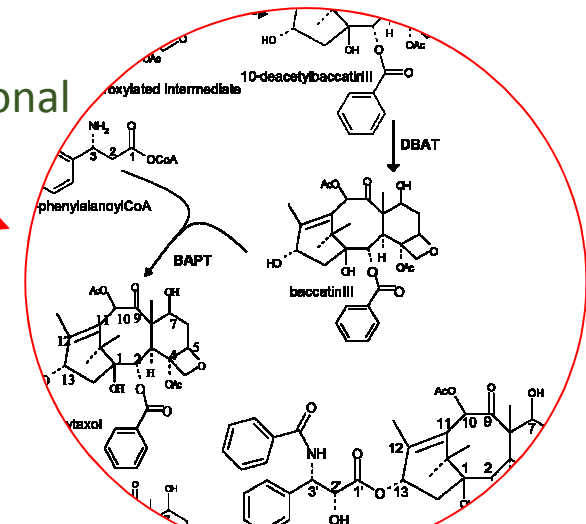
## Cultivo en dos fases

**Nuestras referencias:** Cusidó, R. et al., 1999, *Plant Sci.* 146: 101 -107; Fornalé, S. et al., 2002, *Plant Physiol.* 40:81-88; Navia-Osorio, A. et al., 2002, *J. Plant Physiol.* 159: 97-102; Navia-Osorio, A. et al., 2002, *Planta Med.* 68: 336-340; Cusidó, R.M. et al., 2002, *Biotech. Prog.* 18:418–423; Palazón, J. et al. 2003, *J. Biotech.* 101:157-163; Bonfill, M. et al. 2003, *Plant Physiol Biochem.* 41: 91-96; Bentebibel, S. et al., 2005, *Biotech. Bioeng.* 89-655; Cusidó, R.M. et al., 2007, *Biochem. Eng. J.* 33: 159-167 ; Bonfill, M. et al. 2007 *Biol. Plant.* 51: 647- 652; Expósito, O. et al., 2009, *New Biotech.* 25: 252-259; Exposito, O. et al., 2010, *Biotech. Progr.* 26:1145-1153; Onrubia, M., 2011, *Plant Sci.* 181: 282-287; Onrubia, M. et al., 2010, *Biochem. Eng. J.* 53:104-111; Onrubia M. et al. 2013, *J. Plant Physiol.* 170: 211- 219.



## Aproximaciones de tipo racional

Conocimiento  
biosíntesis  
producción



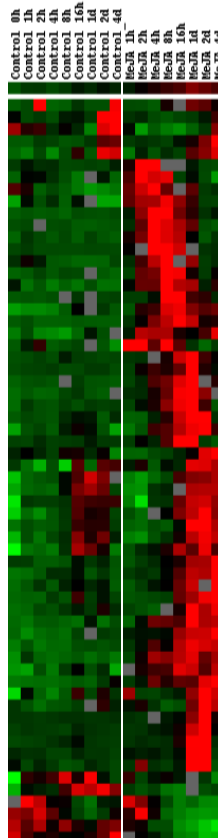
Espece	Elicitor	Incremento producción	Liberación MC	Referencia
<i>T. media</i>	MeJA	x10	45%	Onrubia et al. <i>J Plant Physiol</i> (2013) 170, 211– 219
<i>T. baccata</i>	MeJA	x9	40%	Onrubia et al. <i>Plant Biotech J</i> (2014) 12, 971–983
<i>T. media</i>	CORO	x20	52%	Onrubia et al. <i>J Plant Physiol</i> (2013) 170, 211– 219
<i>T. media</i>	CD	x6	90%	Sabater-Jara et al. <i>Plant Biotech J</i> (2014) 12, 1075–1084
<i>T. media</i>	MeJA+CD	x83	90%	Sabater-Jara et al. <i>Plant Biotech J</i> (2014) 12, 1075–1084
<i>T. media</i>	CORO+CD	x18	90%	Ramírez-Estrada et al. <i>Phytochemistry</i> (2015) 117, 174–184
<i>T. globosa</i>	CORO+CD	x40	100%	Ramírez-Estrada et al. <i>Phytochemistry</i> (2015) 117, 174–184

MeJA: jasmonato de metilo, CORO: Coronatina; CD:  $\beta$ -metilciclodextrina

Vidal-Limón et al. 2016 *Bioprocessing of Plant In Vitro Systems, Reference Series in Phytochemistry*. Springer

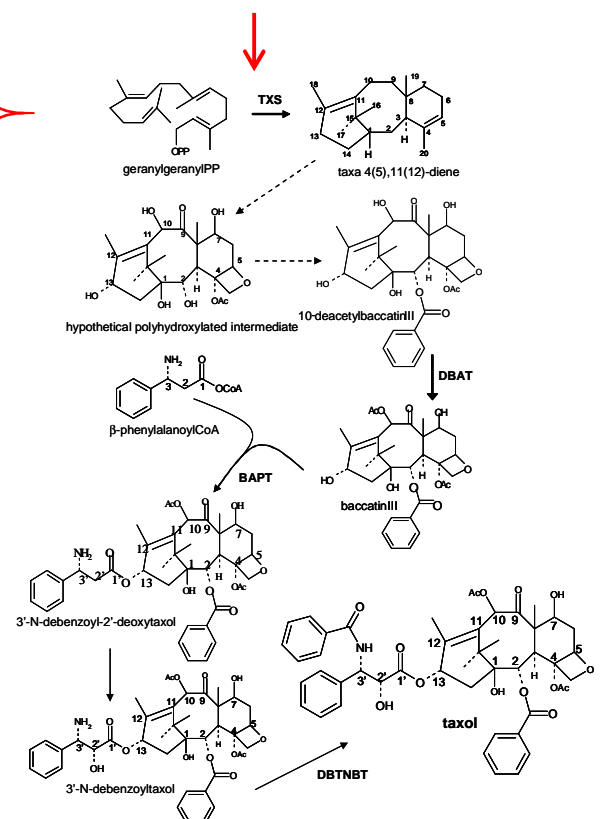
## Factores de entrada:

- Líneas celulares
- Condiciones de cultivo
- Medio de cultivo
- Precursores y elicidores
- Biorreactores

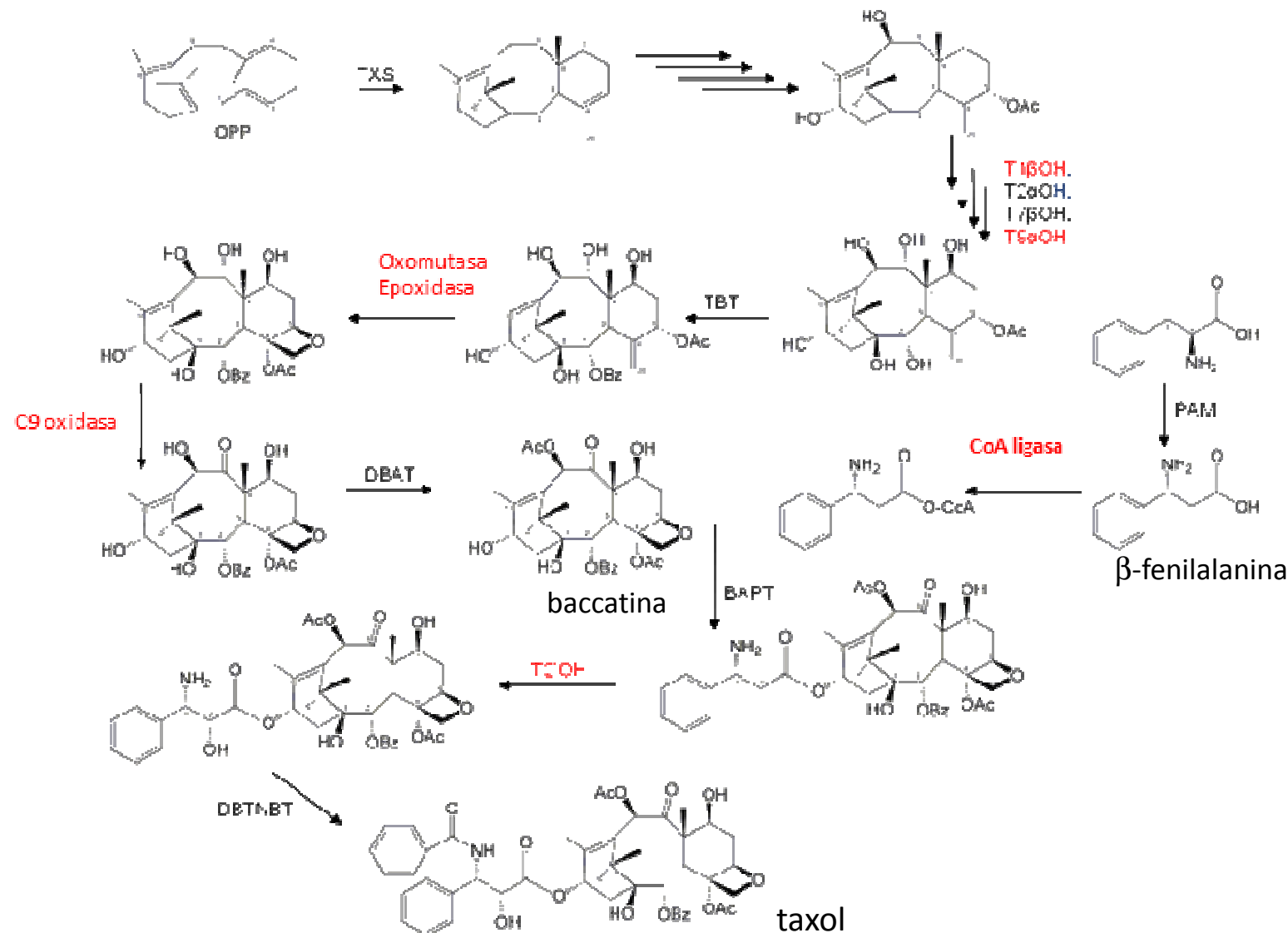


## Factores de salida:

- Crecimiento
- Producción
- Rendimiento
- Mayor conocimiento del metabolismo

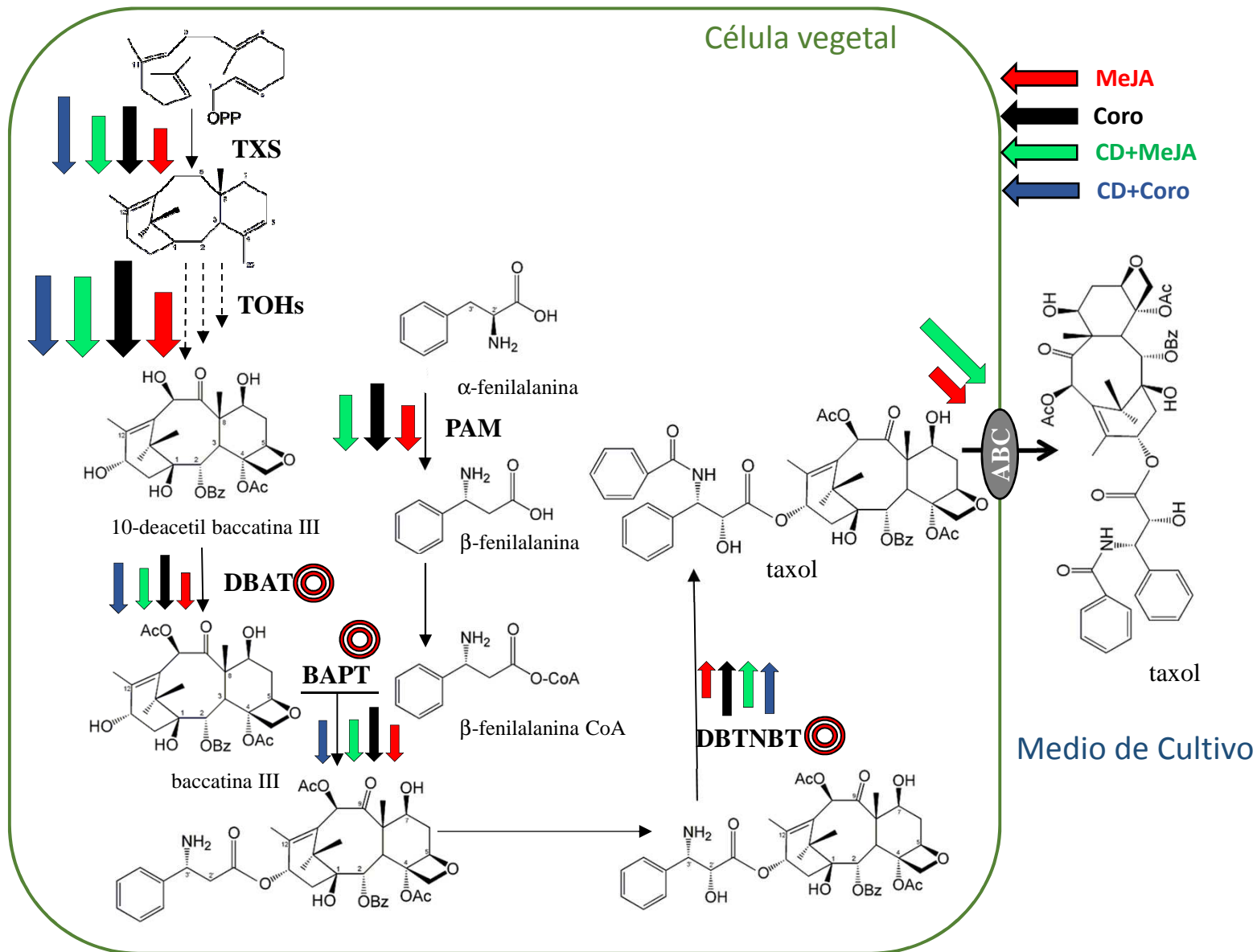


## Biosíntesis de taxanos:

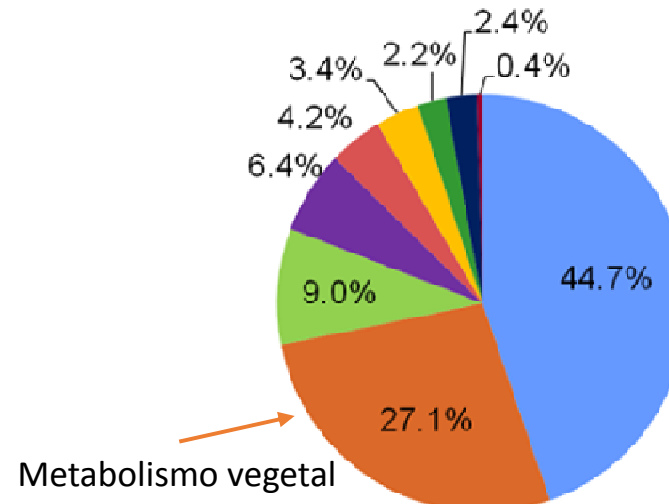
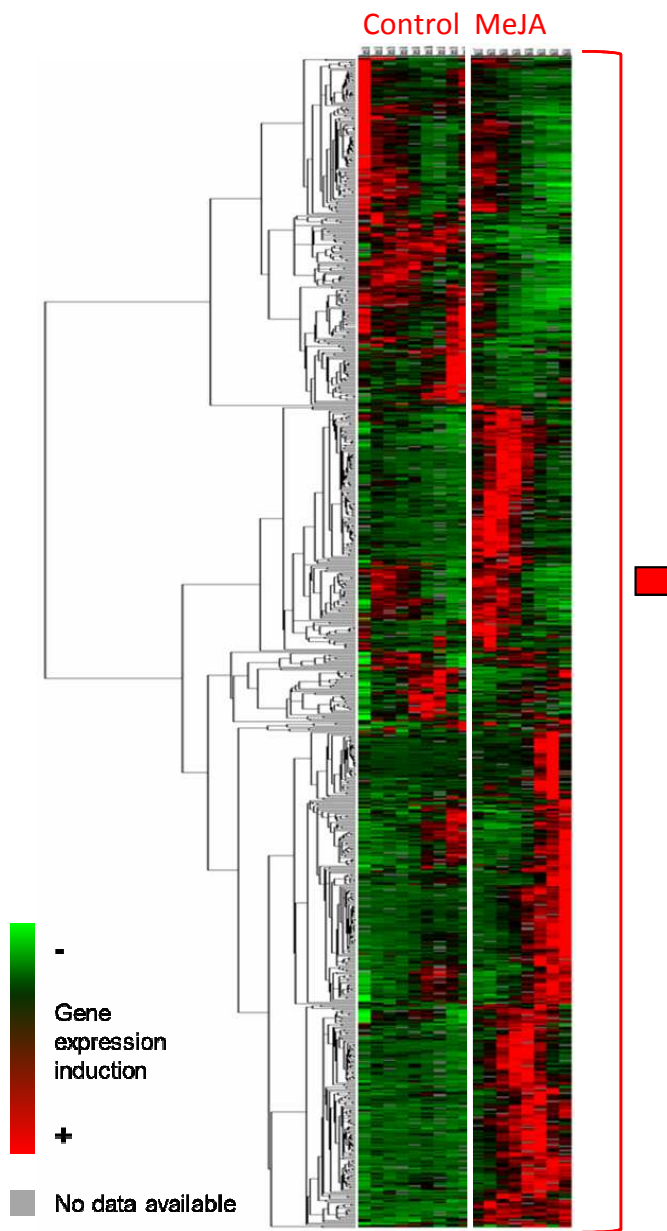


En rojo: Pasos no caracterizados hasta el momento

## Efecto de la elicitation sobre el nivel de expresión génica:



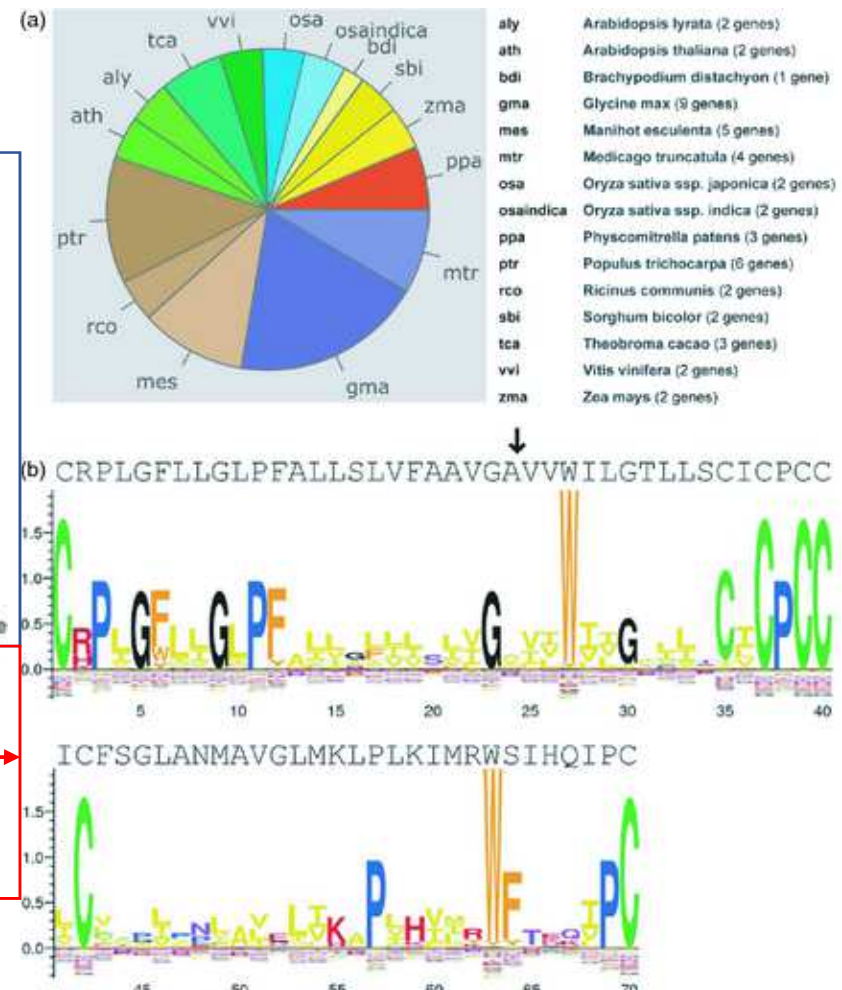
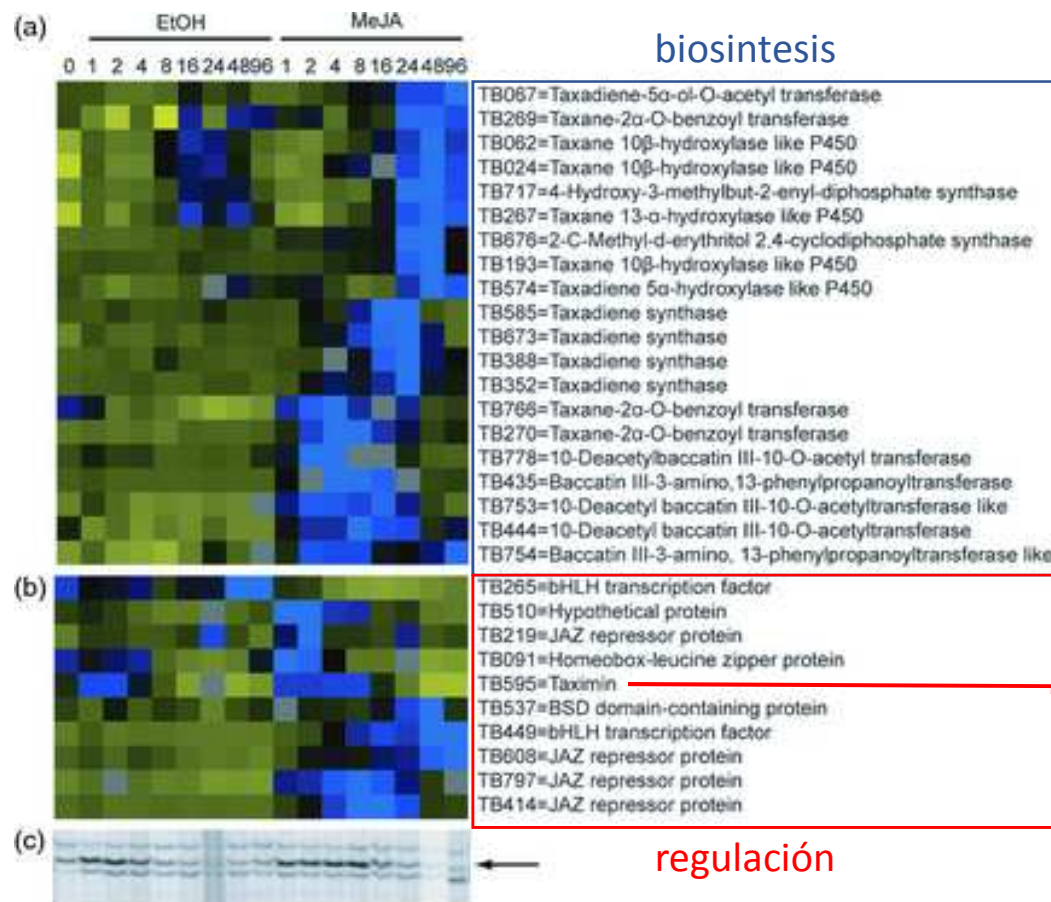
## Aproximaciones ómicas: Estudio del transcriptoma de *Taxus* por cDNA-AFLP



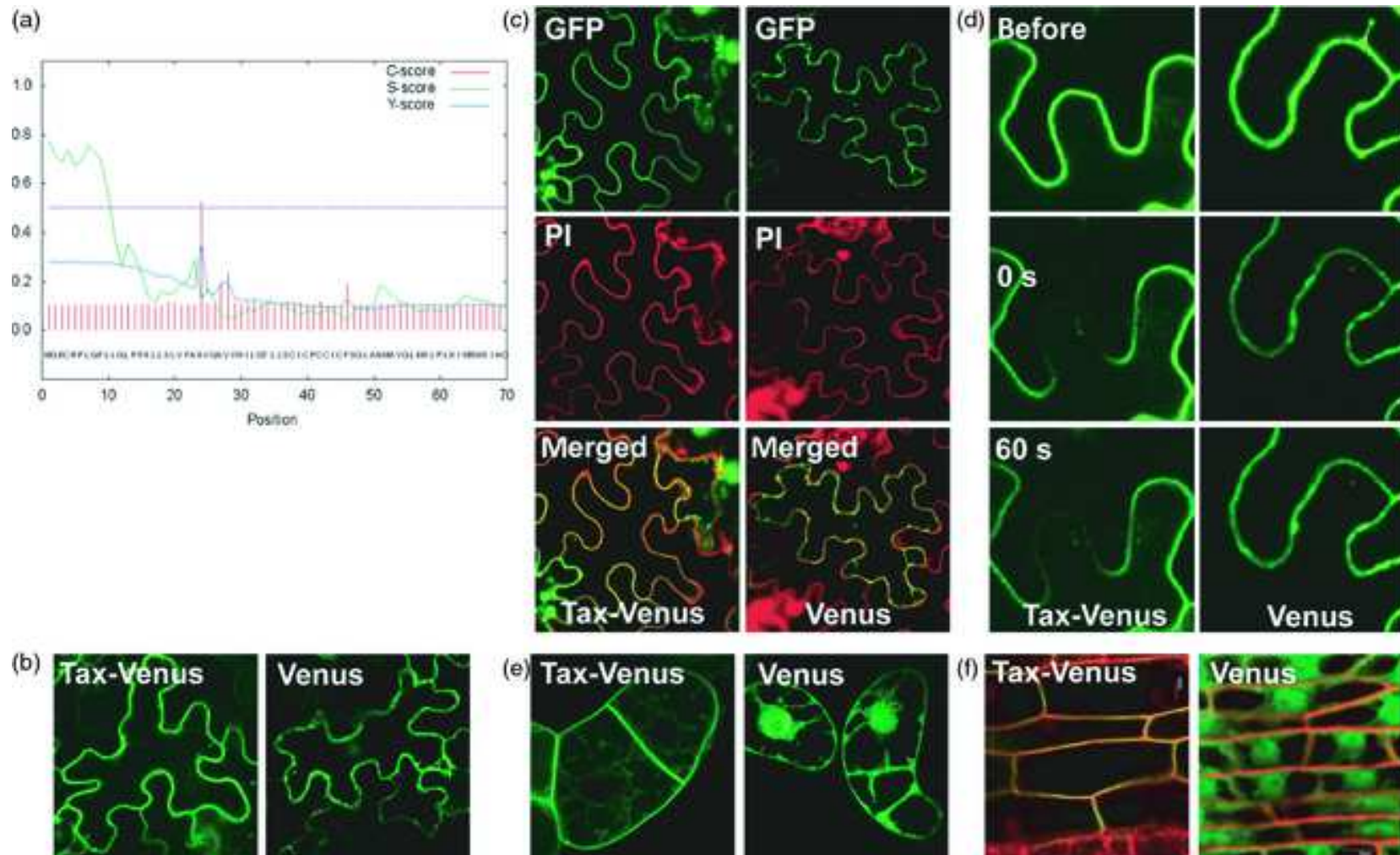
### Función

■ Sin homología	298	44.7
■ Metabolismo y Energía	181	27.1
■ Proteínas no clasificadas	60	9.0
■ Organización celular y defensa	43	6.4
■ Síntesis de proteínas y grasas	28	4.2
■ Transporte	23	3.4
■ Transducción de señales	15	2.2
■ Transcripción	16	2.4
■ Transposones	3	0.4
<b>TOTAL DE SECUENCIAS</b>	<b>667</b>	<b>100</b>

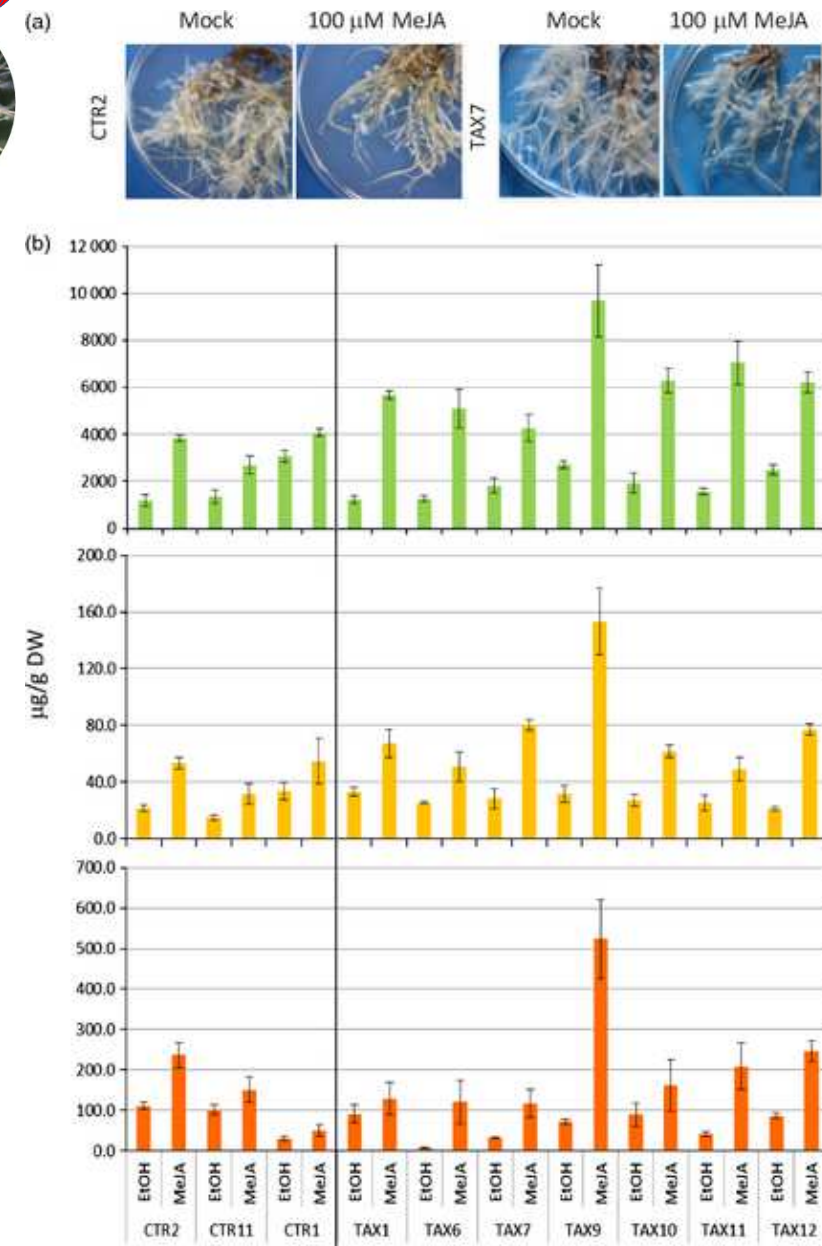
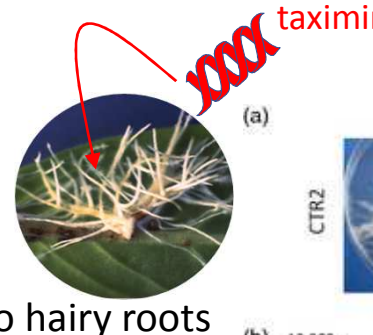
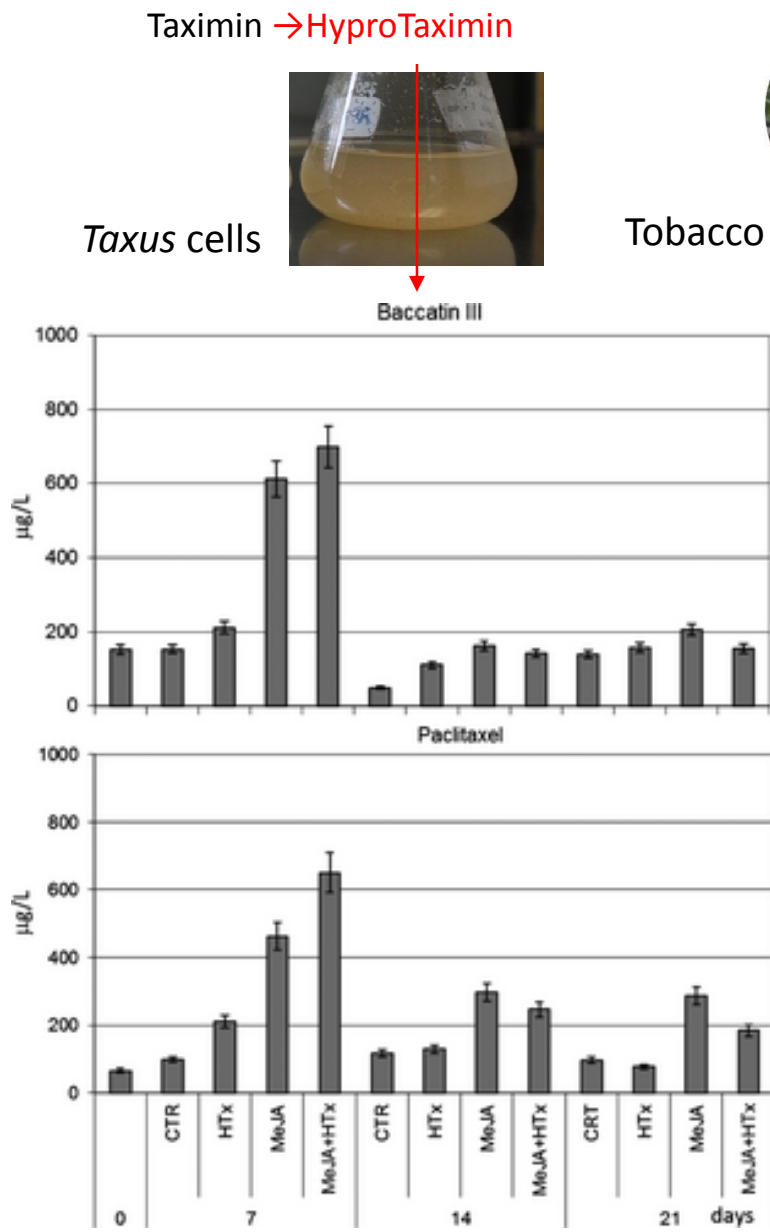
# Taximin:



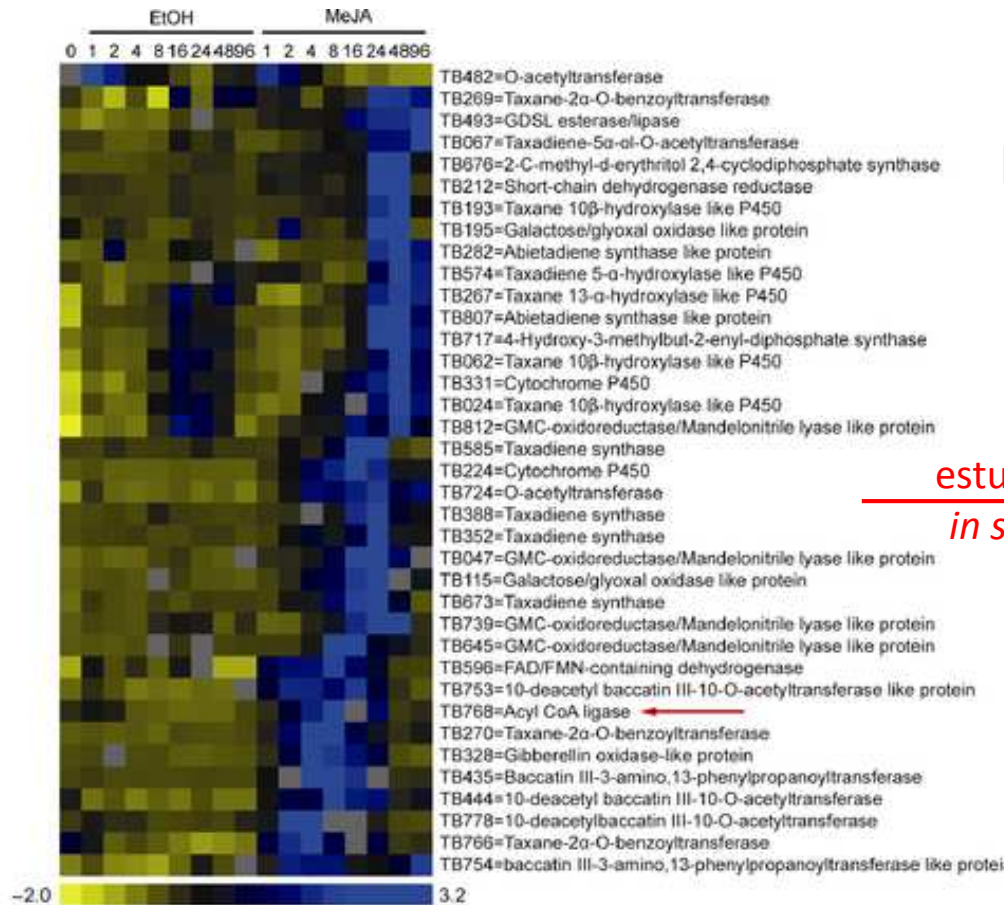
## Taximin localización subcelular:



## Estudio funcional del taximin:



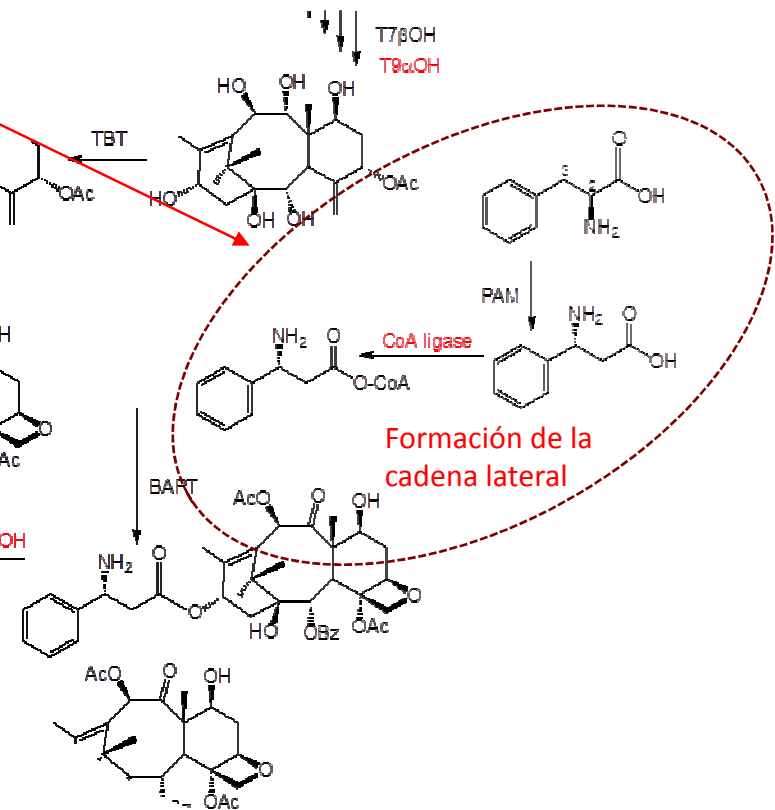
## Estudio funcional del gen TB768:



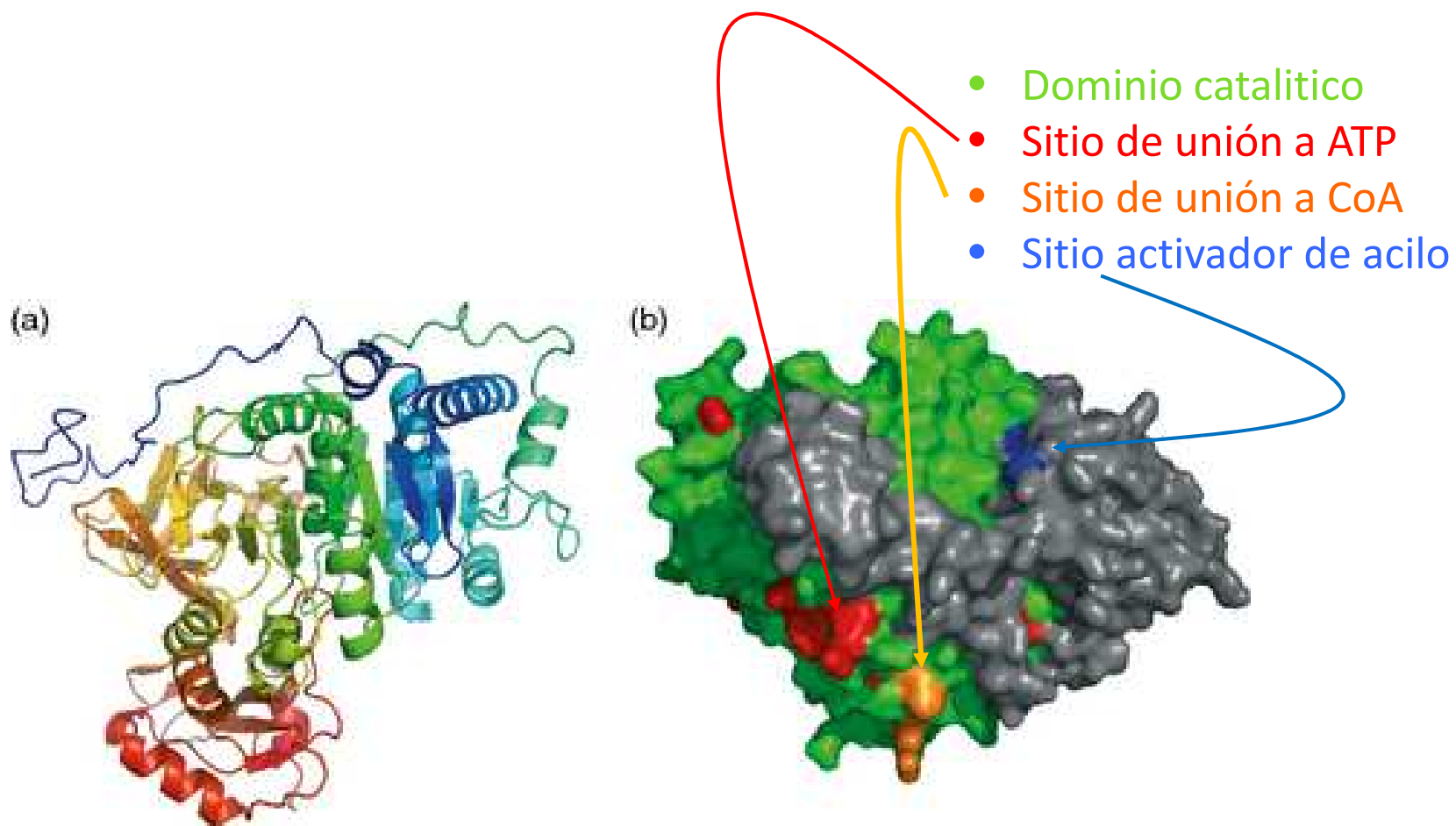
Tentative function	Tag	GenBank accession	Annotation	BLAST hit code	e-value
CoA ligase	TB768	KM593667	Acyl-CoA ligase	B9GQ39	0.0
C1 and C9 hydroxylases	TB506	KP178208	Cinnamate 4-hydroxylase	B2Z6P5	0.0
	TB331	KP178206	Putative cytochrome P450	D7T4D5	1.0E-118
	TB574	KP178209	Putative cytochrome P450	D7T4D5	1.0E-118
	TB224	KP178204	Putative cytochrome P450	D5A7Y6	1.0E-152
C4-C20 epoxidase	TB328	KP178205	Putative gibberellin oxidase	A9NW35	1.0E-45
C9 oxidase	TB596	KP178210	Unknown (FAD/FMN-containing dehydrogenase)	B8LR72	8.0E-87
	TB812	KP178213	Unknown (GMC oxidoreductase)	A9NXU5	1.0E-151
	TB047	KP178200	Unknown (GMC oxidoreductase)	A9NXU5	1.0E-109
	TB739	KP178212	Unknown (GMC oxidoreductase)	A9NXU5	1.0E-148
	TB212	Link to external resource: KP178212 short-chain dehydrogenase reductase		A9NU86	6.0E-91
Oxomutase	TB493	KP178207	Unknown Putative GDSL esterase	A9SVY3	1.0E-44
	TB195	KP178202	Unknown (galactose/glyoxal oxidase related)	F6GTQ6	1.0E-164
	TB115	KP178201	Unknown (galactose/glyoxal oxidase related)	D8RR64	1.0E-163

## Estudio funcional del gen TB768:

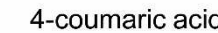
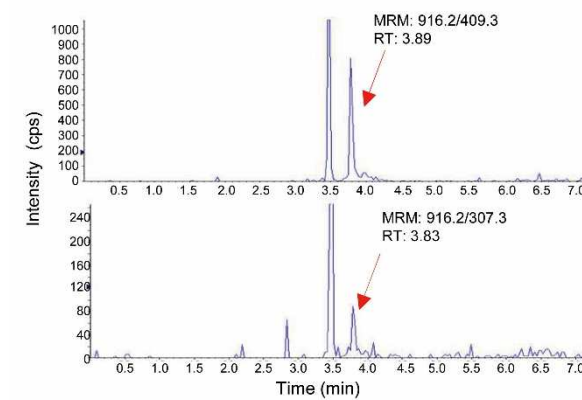
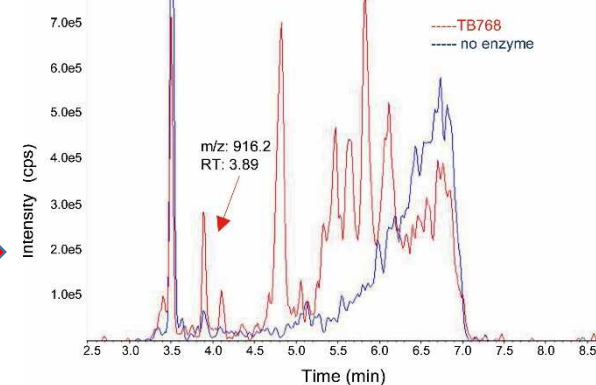
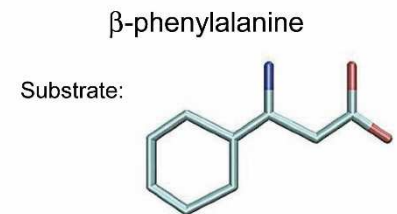
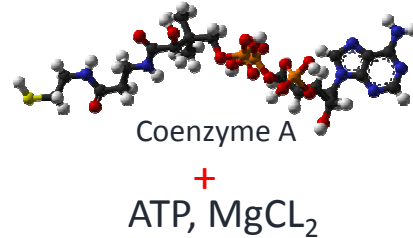
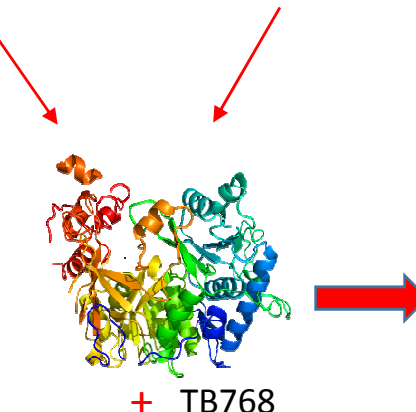
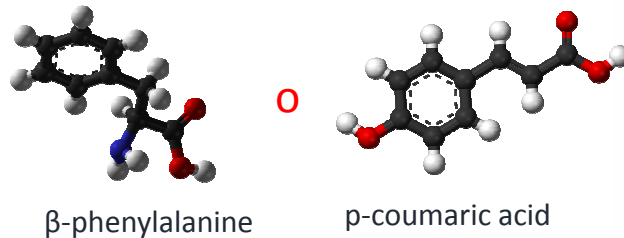
Tentative function	Tag	GenBank accession	Annotation	BLAST hit code	e-value
CoA ligase	TB768	<a href="#">KM593667</a>	Acyl-CoA ligase	B9GQ39	0.0
C1 and C9 hydroxylases	TB506	<a href="#">KP178208</a>	Cinnamate 4-hydroxylase	B2Z6P5	0.0
	TB331	<a href="#">KP178206</a>	Putative cytochrome P450	D7T4D5	1.0E-118
	TB574	<a href="#">KP178209</a>	Putative cytochrome P450	D7T4D5	1.0E-118
	TB224	<a href="#">KP178204</a>	Putative cytochrome P450	D5A7Y6	1.0E-152
C4-C20 epoxidase	TB328	<a href="#">KP178205</a>	Putative gibberellin oxidase	A9NW35	1.0E-87
C9 oxidase	TB596	<a href="#">KP178210</a>	Unknown (FAD/FMN-containing dehydrogenase)	B8LR72	8.0E-151
	TB812	<a href="#">KP178213</a>	Unknown (GMC oxidoreductase)	A9NXU5	1.0E-151
	TB047	<a href="#">KP178200</a>	Unknown (GMC oxidoreductase)	A9NXU5	1.0E-109
	TB739	<a href="#">KP178212</a>	Unknown (GMC oxidoreductase)	A9NXU5	1.0E-148
	TB212	<a href="#">Link to external resource: KP178212</a>	brt-chain dehydrogenase reductase)	A9NU86	6.0E-91
	TB645	<a href="#">KP178211</a>	Unknown (GMC oxidoreductase)	A9NXU5	1.0E-158
Oxomutase	TB493	<a href="#">KP178207</a>	Unknown Putative GDSL esterase	A9SVY3	1.0E-44
	TB195	<a href="#">KP178202</a>	Unknown (galactose/glyoxal oxidase related)	F6GTQ6	1.0E-164
	TB115	<a href="#">KP178201</a>	Unknown (galactose/glyoxal oxidase related)	D8RR64	1.0E-163



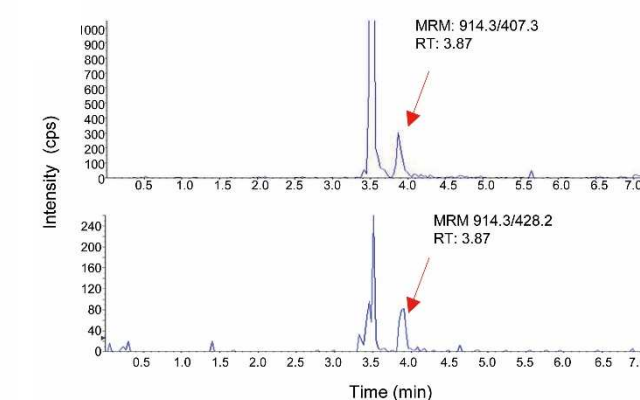
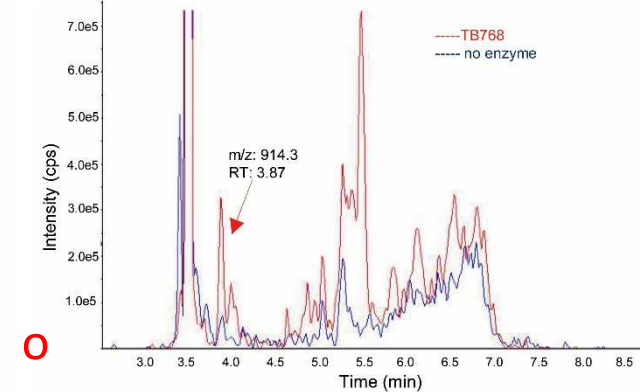
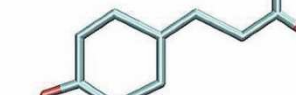
## Hipotética estructura 3D de la proteína TB768:



## Estudio funcional del gen TB768:



Substrate:



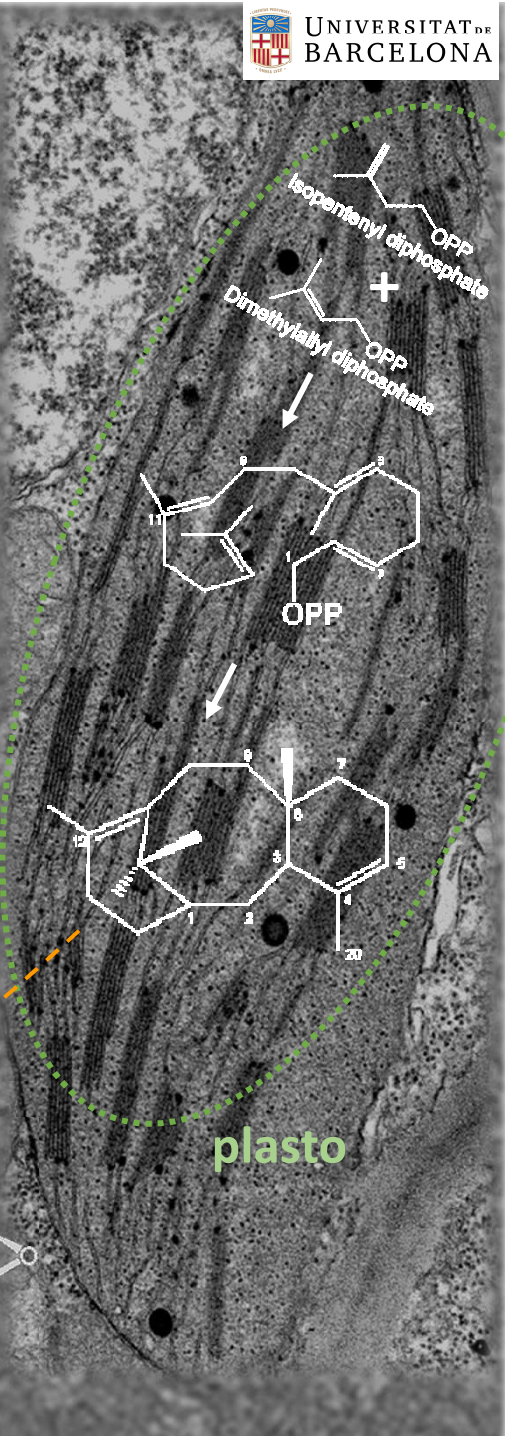
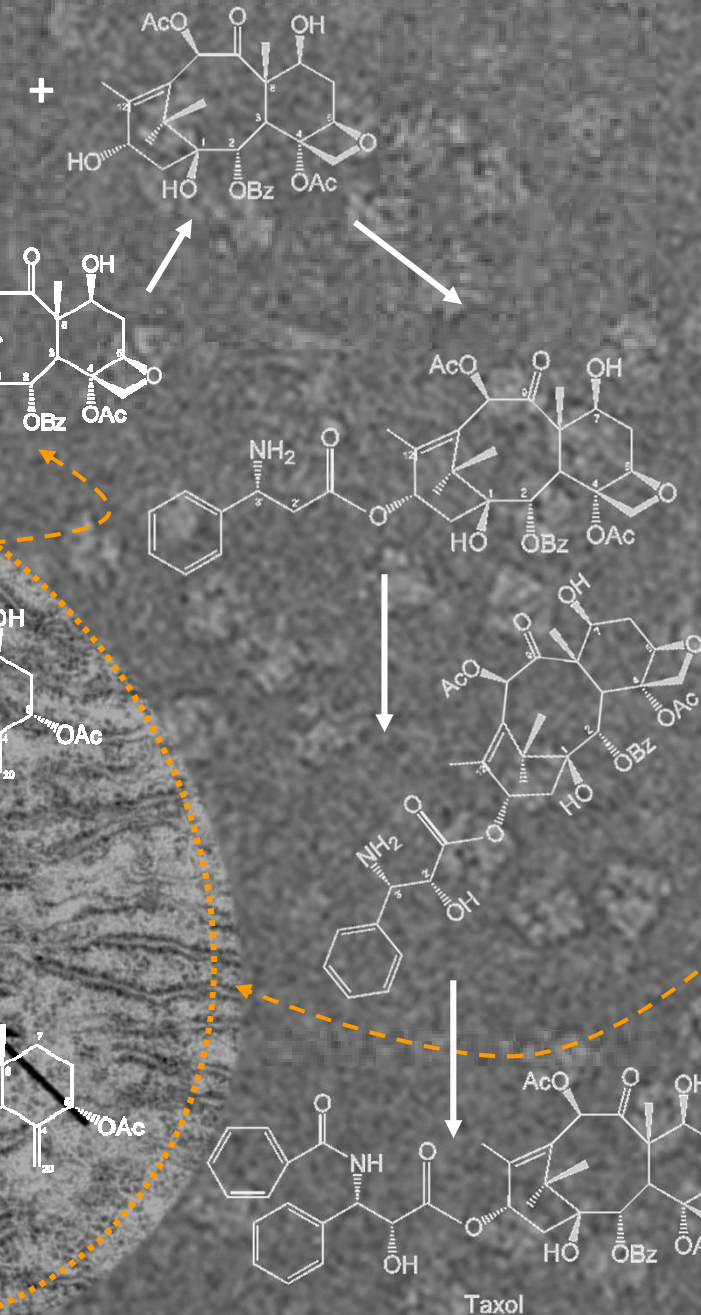
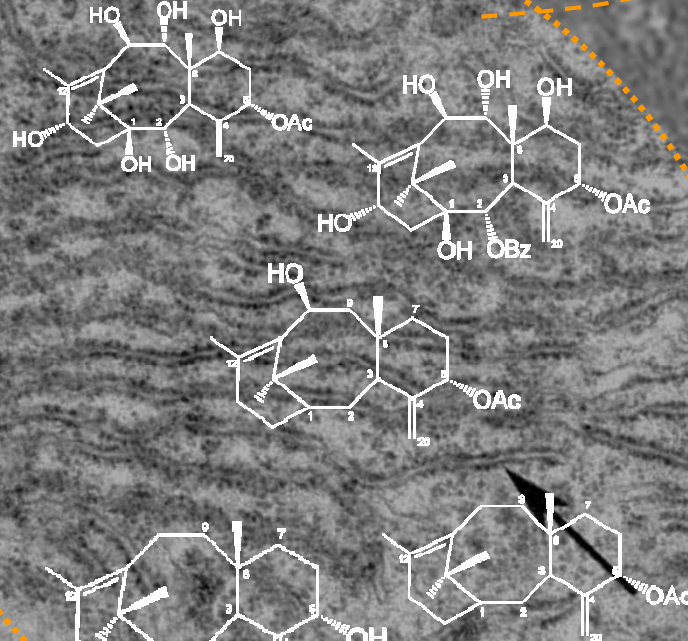
## Localización subcelular:

citoplasma

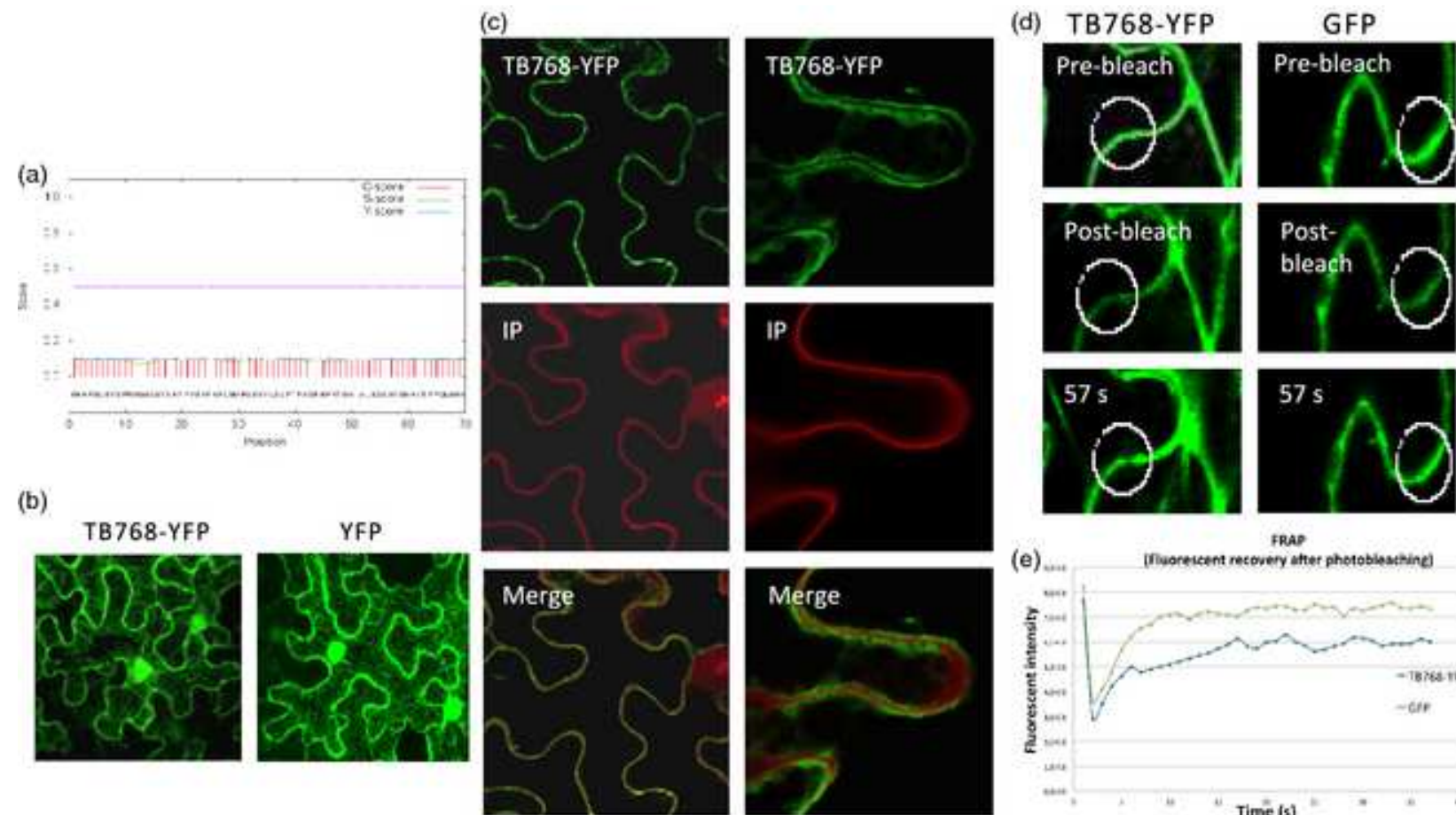
RE

plasto

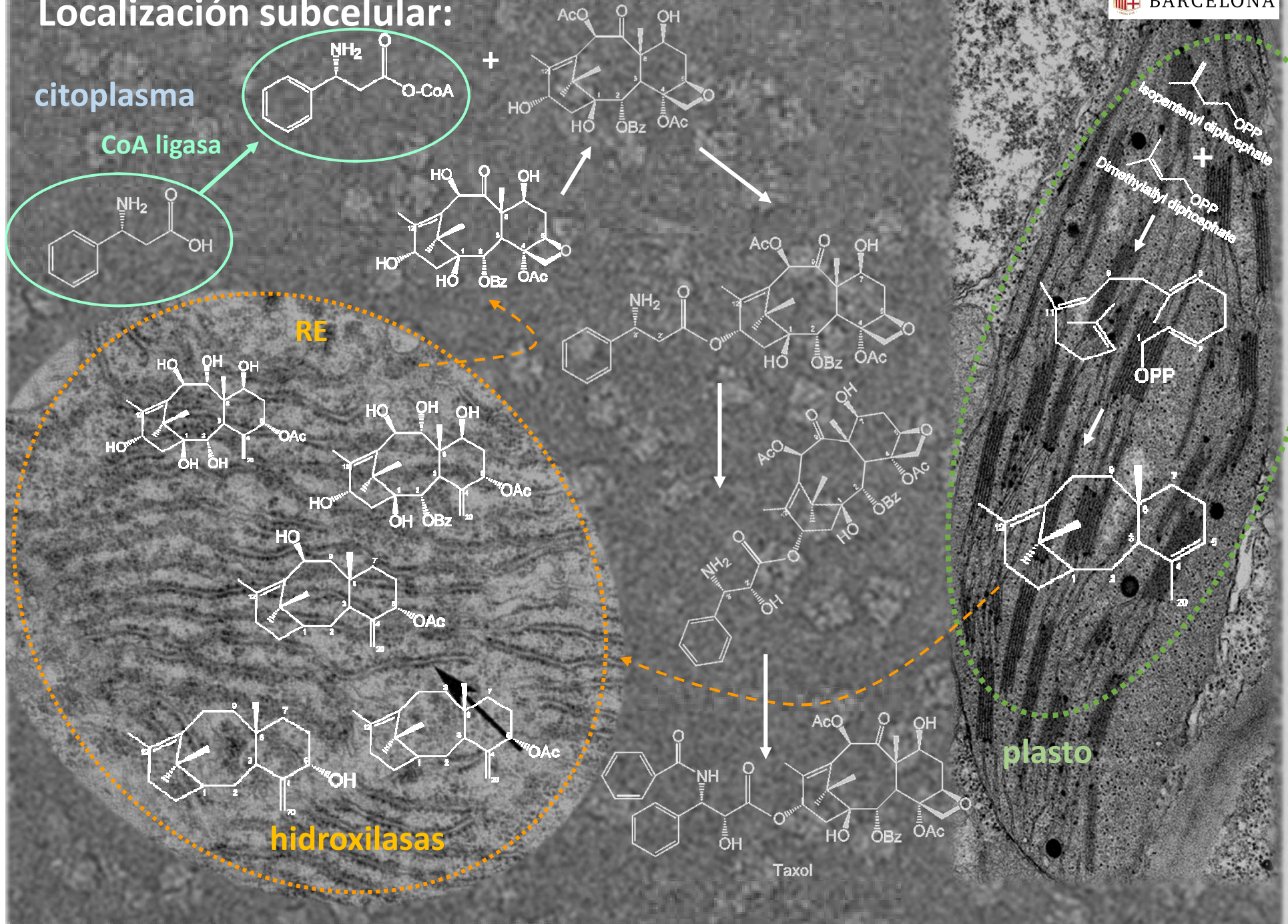
hidroxilasas



## Localización subcelular de TB768:



## Localización subcelular:



## Conclusión:



En su conjunto los resultados de este trabajo confirman que los cultivos celulares de *Taxus* spp. elicitedos son una excelente plataforma biotecnológica para la producción de taxanos y que este sistema, con el apoyo de las tecnologías ómicas, junto con los estudios bioinformáticos, como catalizadores, potencia el desarrollo de estudios básicos conducentes a un mejor conocimiento de la biosíntesis de taxanos y el metabolismo secundario en general.

Plant Biotechnology  
group



Phytochemical  
production



Dr. Alain Goossens



Dra. Teresa Altabella



UNIVERSITAT DE  
BARCELONA

Financiación:



BIO2014-51861-R

BIO2011-29856-C02-01

2014SGR215

2009SGR1217